

ZÁPADO ČESKÁ UNIVERZITA V PLZNI
FAKULTA ZDRAVOTNICKÝCH STUDIÍ

BAKALÁ ŔSKÁ PRÁCE

2013

TEREZA JOUZKOVÁ

FAKULTA ZDRAVOTNICKÝCH STUDIÍ

Studijní program: Specializace ve zdravotnictví

Tereza Jouzková

Studijní obor: Radiologický asistent 5345R010

Význam PET/CT u neoplázií urogenitálního traktu

Bakalářská práce

Vedoucí práce: MUDr. Alexander Malán

PLZE 2013

Prohlá-ení:

Prohla-uji, že jsem bakalá skou práci vypracovala samostatn a v-echny pouflité prameny jsem uvedla v seznamu pouflitých zdroj .

V Plzni dne 29. 03. 2013

.....

vlastnoru ní podpis

Pod kování

Děkuji MUDr. Alexanderovi Malánovi za odborné vedení práce, poskytování cenných rad a materiálních podkladů .

Anotace

Příjmení a jméno: Jouzková Tereza

Katedra: Záchranářství a technických oborů

Název práce: Význam PET/CT u neoplázií urogenitálního traktu

Vedoucí práce: MUDr. Alexander Malán

Počet stran: číslované 51, ne číslované 40 (17 grafů, 18 tabulek)

Počet příloh: 6

Počet citované literatury: 23

Klíčová slova: Karcinomy urogenitálního traktu, PET/CT, ultrasonografie, výpočetní tomografie

Souhrn:

Bakalářská práce se zabývá tématem významu PET/CT u neoplázií urogenitálního traktu. Je rozdělena na část teoretickou a praktickou. V teoretické části popisují jednotlivé karcinomy urogenitálního traktu. Zabývám se jejich epidemiologií, etiologií, příznaky, diagnostikou a léčbou. Dále se v ní obsáhle kapitole PET/CT, kde popisují samotné vyšetření a jednotlivá indikační kritéria.

Praktická část se zabývá rozбором kazuistik pacientů postihnutých karcinomy urogenitálního traktu, kteří podstoupili PET/CT vyšetření.

Annotation

Surname and name: Jouzková Tereza

Department: Department of Paramedical Rescue Work and Technical Studies

Title of thesis: The importance of PET/CT in the urogenital tract neoplasia

Consultant: MUDr. Alexander Malán

Number of pages: numbered 51, unnumbered 40 (17 graphs, 18 tables)

Number of appendices: 6

Number of literature items used: 23

Key words: Carcinomas of the urogenital tract, PET / CT, ultrasonography, computed tomography

Summary:

The bachelor thesis deals with the role of PET / CT in the urogenital tract neoplasia. It is divided into theoretical and practical part. The theoretical part describes various cancers urogenital tract. Deal with their epidemiology, etiology, symptoms, diagnosis and treatment. Then I write an extensive chapter PET / CT, which describes itself examination and individual indication criteria.

The practical part deals with the case histories of patients affected by cancer of the urogenital tract who underwent PET / CT examination.

OBSAH

ÚVOD.....	12
-----------	----

TEORETICKÁ ÁST

1 ANATOMIE.....	13
1.1 MO OVÁ SOUSTAVA.....	13
1.2 ANATOMIE MO OVÉHO SYSTÉMU.....	13
1.3 ANATOMIE POHLAVNÍHO SYSTÉMU.....	15
1.4 ANATOMIE Ó MUŤSKÉ POHLAVNÍ ORGÁNY.....	15
1.5 ANATOMIE Ó ŤENSKÉ POHLAVNÍ ORGÁNY.....	17
2 KARCINOM LEDVIN A MO OVÉHO M CHÝ E.....	19
2.1 NÁDORY LEDVIN.....	19
2.1.1 <i>Epidemiologie</i>	19
2.1.2 <i>Etiologie</i>	20
2.1.3 <i>P íznaky nemoci</i>	20
2.1.4 <i>Diagnostika a staging</i>	21
2.1.5 <i>TNM klasifikace rozsahu tumoru a klinická stadia</i>	22
2.1.6 <i>Lé ba</i>	22
2.2 NÁDORY MO OVÉHO M CHÝ E.....	23
2.2.1 <i>Epidemiologie</i>	23
2.2.2 <i>Etiologie</i>	23
2.2.3 <i>P íznaky nemoci</i>	24
2.2.4 <i>Diagnostika a staging</i>	24
2.2.5 <i>TNM klasifikace rozsahu tumoru a klinická stadia</i>	25
2.2.6 <i>Lé ba</i>	25
3 KARCINOM PROSTATY A VARLAT.....	27
3.1 KARCINOM PROSTATY.....	27
3.1.1 <i>Epidemiologie</i>	27
3.1.2 <i>Etiologie</i>	27
3.1.3 <i>P íznaky nemoci</i>	28
3.1.4 <i>Diagnostika a staging</i>	28
3.1.5 <i>TNM klasifikace rozsahu tumoru a klinická stadia</i>	29
3.1.6 <i>Lé ba</i>	29
3.2 TESTIKULÁRNÍ NÁDORY.....	30
3.2.1 <i>Epidemiologie</i>	30
3.2.2 <i>Etiologie</i>	30
3.2.3 <i>P íznaky nemoci</i>	31
3.2.4 <i>Diagnostika a staging</i>	31

3.2.5	<i>TNM klasifikace rozsahu tumoru a klinická stádia</i>	31
3.2.6	<i>Lé ba</i>	32
4	NÁDORY D LOŤNÍHO T LA A D LOŤNÍHO ÍPKU	33
4.1	NÁDORY D LOŤNÍHO T LA	33
4.1.1	<i>Epidemiologie</i>	33
4.1.2	<i>Etiologie</i>	33
4.1.3	<i>P íznaky nemoci</i>	33
4.1.4	<i>Diagnostika a staging</i>	34
4.1.5	<i>TNM klasifikace rozsahu tumoru a staging</i>	34
4.1.6	<i>Lé ba</i>	35
4.2	NÁDORY D LOŤNÍHO ÍPKU	35
4.2.1	<i>Epidemiologie</i>	35
4.2.2	<i>Etiologie</i>	35
4.2.3	<i>P íznaky nemoci</i>	36
4.2.4	<i>Diagnostika a staging</i>	36
4.2.5	<i>TNM klasifikace rozsahu tumoru a klinická stádia</i>	37
4.2.6	<i>Lé ba</i>	38
5	PET/CT	39
5.1	FYZIKÁLNÍ PRINCIPY DETEKCE PET/CT	39
5.2	RADIOFARMAKA	39
5.3	INDIKACE PET/CT	40
5.4	P ÍPRAVA PACIENTA P ED VYTĚ ENÍM (VE FNĽ PLZE)	40
5.5	VYTĚ OVACÍ PROTOKOL	41
5.6	POSTUP VYTĚ ENÍ PET/CT	41
5.7	KONTRAINDIKACE PET/CT	42
5.8	INDIKA NÍ KRITÉRIA PET/CT	42
5.8.1	<i>Karcinom mo ového m chý e</i>	42
5.8.2	<i>Karcinom ledvin</i>	42
5.8.3	<i>Karcinom prostaty</i>	43
5.8.4	<i>Testikulární nádory</i>	43
5.8.5	<i>Nádory v gynekologii</i>	43
PRAKTICKÁ ÁST		
6	KAZUISTIKY	45
6.1	KAZUISTIKA 1	45
6.2	KAZUISTIKA 2	48
6.3	KAZUISTIKA 3	51
6.4	KAZUISTIKA 4	54
6.5	KAZUISTIKA 5	57
7	DISKUZE	61
ZÁV R	63

SEZNAM LITERATURY

SEZNAM ZKRATEK

SEZNAM P ÍLOH

P ÍLOHY

ÚVOD

Jako téma bakalářské práce jsem si vybrala téma význam PET/CT u neoplázií urogenitálního traktu. Karcinomy urogenitálního traktu jsou velmi závažná onemocnění, která pokud nejsou včas diagnostikována, mohou vést i ke smrti. Rozvoj diagnostické technologie v současné době napomáhá k přesnější diagnostice těchto typů onemocnění. V neposlední řadě je potřeba vzdělávat i odborné způsobilé zdravotnické pracovníky, kteří s touto technologií pracují a na základě praktické zkušenosti mohou napomoci ke stanovení přesné diagnózy a následné léčby onkologického onemocnění.

V teoretické části této bakalářské práce se zabývám anatomíí urogenitálního traktu. Poté uvádím rozsáhlou kapitolu nádorů, kde jsem vybrala nejčastěji se vyskytované karcinomy v oblasti urogenitálního traktu. Popisuji zde epidemiologii, etiologii, příznaky, diagnostiku a v neposlední řadě léčbu jednotlivých karcinomů. Další kapitolu věnuji PET/CT vyšetření, v níž popisuji princip vyšetření a indikační kritéria.

V praktické části bych se zabývala rozбором kazuistik a na základě výsledných dat bych zjišťovala, zda se metoda PET/CT využívá jako primární i sekundární vyšetření.

Cílem této práce je nastudovat odbornou literaturu k danému tématu. Zjistit, zda-li se PET/CT využívá k diagnostice neoplázií urogenitálního traktu. Dalším cílem práce je zjistit, pro které metody PET/CT používá jako sekundární, a nikoli jako primární metoda.

TEORETICKÁ ÁST

1 ANATOMIE

1.1 Mo ová soustava

Základními funkcemi této soustavy jsou:

- 1) Udrfování homeostázy prostředí v organismu.
- 2) Odstra ování toxických produkt metabolit (katabolity, anabolity) z organismu, které jsou rozpu-t ny v mo i a vylu ovány ven z t la.
- 3) Endokrinní funkce ledvin produkujících renin, který je uvol ován do krve a tím ovliv uje krevní tlak, a dále erythropoetin, který ovliv uje tvorbu erytrocyt a hydroxycholecalciferolu, ten je zapojen do regulace metabolismu vápníku.^{1,2}

Mo ová soustava je rozd lena na dv ásti a to na ledvinu a vývodné cesty mo ové. Ty lze dále d lit na intrarenální oddíl, kam pat í kalichy ledvinné (calices renalis) a pánvi ka ledvinná (pelvis renalis), extrarenální oddíl, ten zastupuje levý a pravý mo ovod (ureter sinister et dexter), mo ový m chý (vesica urinaria) a mo ová trubice (urethra).^{1,2}

1.2 Anatomie mo ového systému

Ledviny (ren, nefros)

Ledvina je párový orgán s charakteristickým tvarem fazole. Její délka je 10 ó 12cm, ší ka 5 ó 6 cm, tlou- ka 3,5 ó 4 cm a hmotnost 120 ó 170 g. Je červenohn d zbarvená, má hladký povrch a je tuhé konzistence. Ledviny jsou ulofeny v retroperitoneálním prostoru v oblasti obratl Th 12 ó L2. Zpravidla bývá, fle pravá ledvina je ulofena nífle nefl ledvina levá. Ob ledviny jsou ulofeny v tukovém pouzd e tzv. capsula adiposa, které zaji- uje fixaci ledvin. Ledvina je stavbou slofená tubulózní fláza a její povrch je kryt tuhým vazivovým pouzdrem tzv. capsula fibrosa. Na ezu ledvinou lze makroskopicky rozli-ít k ru ledviny (cortex renalis) a d e ledviny (medulla renalis). K ra ledviny je jemn zrnitá a sv tlej-í, tvo í souvislou vrstvu pod pouzdrem a místy vybíhá v podob sloupc k pánvi ce ledvinné. D e je jemn flíhaná, nesouvislá a vytvá í charakteristické útvary, které se nazývají pyramidy (pyramides renales). Vrcholky pyramid se nazývají papillae renales a jsou vyúst ním odvodných kanálk ledviny.^{1,2}

Nefron

Nefron je základní stavební a funkční jednotkou ledviny, nachází se v kůře i v medule. Nefron má tři funkce: glomerulární filtrace primitivní moče, tubulární resorpce látek a vody a sekrece některých iontů a látek do moče.

Vývodné cesty močové

Renální kalichy obemkávají ledvinné papily buď jednotlivě, nebo dva až tři souasně. Mají pohárkový tvar a volným okrajem jsou spojené s tkání kolem papily. Kalichy jsou dvojího druhu: Calices renales minores, je jich přibližně 7 až 14 a sbíhají se tak, že vždy dva až tři menší kalichy se spojují v jeden kalich větší. Calices renales majores jsou zpravidla tři (calix superior, medius et inferior) a sbíhají se do pánvičky ledvinné. Pánvička ledvinná je rozšířený trojúhelníkový dutý tvar v hilu ledviny. Do pánvičky shora a z laterální strany vstupují kalichy a mediokaudálním směrem z ní vystupuje močodvod.^{1,2}

Močodvod (urether)

Močodvod je oploštělá trubice o délce 25 až 30 cm a má v průměru 4 až 7 mm. Ureter začíná v pánvičce ledvinné a sestupuje retroperitoneálním prostorem. Do stěny močového měchýče vstupuje šikmo z laterální strany a shora, podle popsaného průběhu má tedy ureter tři části: pars abdominalis, pars pelvica a pars intramuralis a tři zúžené místa. Nad těmito zúženími najdeme mírná rozšíření. Zúžení nacházíme v místě výstupu ureteru z ledvinné pánvičky, v místě křížení s vasa iliaca a při vstupu do močového měchýče.^{1,2}

Močový měchý (vesica urinaria)

Je uložena v malé pánvi za symfýzou. Jde o dutý orgán, ve kterém se shromažďuje moč před vyprázdněním. Jeho tvar je velice variabilní a závisí na stupni naplnění, stavu svalové vrstvy stěny, pohlaví, věku a na poloze a naplnění orgánu v okolí. Fyziologická naplněná močový měchýč (tj. stav kdy se dostavuje pocit na močení) je 250 až 300 cm³, ale lze pojmout mimořádně roztažení 500 až 700 cm³. U močového měchýče rozlišujeme spodinu a fundus vesicae, hrdlo a cervix vesicae, kde začíná močová trubice, corpus vesicae a tělo a apex vesicae a vrchol.^{1,2}

Močová trubice (urethra)

- a) **fienská močová trubice** je dlouhá 3 ó 4 cm, probíhá –ikmo vp ed a její zevní ústí je uloženo v p edsíni po–evní mezi malými pysky stydkými.
- b) **Mufská močová trubice** má esovitý pr b h a slouží jako vývodná cesta mo ová a zároveň pohlavní. M í asi 20 cm a vystupuje z mo ového m chý e (pars intramuralis), dále prochází prostatou (pars prostatica), svalovým dnem pánevním (pars membranacea) a nakonec prochází spongiózním t lesem penisu (pars spongiosa) a ústí na flaludu pyje jako ostium externum. ^{1,2}

1.3 Anatomie pohlavního systému

Pohlavní soustava (rozmnořovací, reproduk ní) je soustava orgán , která slouží k rozmnořování.

Jejím hlavním úkolem je zaji–t ní vzniku pohlavních bun k a p enosu jejich d di né informace na potomky. ¹³

1.4 Anatomie ó mufské pohlavní orgány

Funkce pohlavního systému mufle:

- 1) Produkce pohlavních orgán
- 2) Koitus neboli realizace pohlavního spojení
- 3) Spermatogeneze neboli tvorba spermií ³

Varlata (testes)

Jsou párový orgán elipsoidního tvaru, dlouhá 4 ó 5 cm a –iroká 2 ó 3 cm. Jsou uložena mimo b i–ní dutinu ve scrotu. Na povrchu mají silné vazivové pouzdro a vnit ní prostor je rozd len p epáfkami na jednotlivé oddíly kde, jsou sto ené semenotvorné kanálky. Zde vznikají semenné pohlavní bu ky neboli spermie vznikající oogenezí, která za íná v dob pohlavního dospívání a trvá do individuáln vysokého v ku.

- Sertolliho bu ky ó jsou to bu ky, které zaji– ují vřivlu dozrávajícím spermiím
- Leydigovy bu ky ó jsou vmeze ená tká varlete, která produkuje hormon zvaný testosteron ^{1,3}

Nadvarlata (epididymis)

Jsou přiložena k zadnímu okraji varlete jako protáhlý útvar. Jejich funkcí je mísení se spermií s hlenovitým sekretem buněk nadvarlat, kde se shromažďují a získávají schopnost samostatného pohybu. ^{1,3}

Chámovod (ductus deferens)

Je trubice dlouhá cca 40 cm, 2–3 mm široká, pokračuje z nadvarlete, jde kraniálně skrotem do zevního otvoru tělesného kanálu, odtud prochází do břišní dutiny, kde se stáčí do pánve a ústí pod močovými měchýři do močové trubice.

Semenný provazec (funiculus spermaticus) je svazek útvarů (a. ductus deferens, a. testicularis, plexus pampiniformis, plexus testicularis, plexus deferentialis, mízní cévy a vestigium vaginalis), které doprovázejí a obklopují ductus deferens.

Semenné vaky (vesiculae seminales) jsou párové přídavné flázy, uloženy za zadní stranou močového měchýře, dlouhé 4–5 cm. Jejich vývod se spojuje s ductus deferens a vzniká ductus ejaculatorius probíhající prostatou. Tvorbí 50–80 % objemu ejakulátu. ^{1,3,6}

Fláza předstojná (prostata)

Je to svalový, flázatý orgán, který je uložen těsně pod močovými měchýři na svalovém dně pánve, velikostí kaštanu a jejím flázem prochází močová trubice. Naléhá na přední stranu konečníku. Obsahuje 30–50 tubuloalveolárních flázek ústících do pars prostatica urethrae. Tvorbí 15–30 % objemu tekutiny ejakulátu. Prostatická tekutina obsahuje prostaglandiny, které stimulují svalovinu dělohy a tím přispívají k transportu spermií a spermin, zároveň ovlivňují jejich pohyblivost a schopnost oplodnění vajíčka. ^{1,3,6}

Penis (pyj)

Je kopulací orgán vybavený nepárovým a jedním párovým topografickým tělesem. Corpora cavernosa penis jsou dvě párová, vedle sebe uložena kavernózní tělesa po obou stranách penisu. Každé corpus cavernosum je svým crus penis přirostlé k dolnímu ramenu kosti stydké a ramenu kosti sedací. Corpus spongiosum penis je nepárové spongiózní těleso, ve kterém je pars spongiosa urethrae, na konci penisu tvoří kónický útvar neboli flalud. ^{1,3,6}

1.5 Anatomie o fenské pohlavní orgány

Funkce pohlavního systému ženy:

- 1) Zrání vajíček a jejich uvolnění z kory
- 2) Produkce pohlavních hormonů
- 3) Koitus o realizace pohlavního spojení
- 4) Vytvoření vhodného prostředí pro vývoj plodu a jeho porod^{4,5}

Vaječníky (ovaria)

Jsou párové pohlavní žlázy, velikosti včestky, po obou stranách zplnělé. Leží na bocích pánevní dutiny, ke stěně jsou připevněny peritoneální šňasou (lig. ovarii proprium), která se napechává na jejich povrch. Počáteční funkce nastává ve věku mezi 13 o 15 rokem a vyhasíná mezi 45 o 55 rokem, tzv. klimakterium přechod. Vaječníky se skládají z vazivového pouzdra, z kory a z děže.^{4,5,6}

Vejcovody (tubae uterinae)

Vejcovod je párová trubice, dlouhá asi 10 cm. Jejich hlavní funkcí je transport vajíčka do dělohy pohybem asinkovitého epitelu a stahování hladké svaloviny ve stěně. K oplození vajíčka spermii dochází v tubě, vajíčko se ihned zaneždit, do dělohy přichází ve stádiu několika desítek buněk. Není-li vajíčko ve vejcovodu oplozeno, zaniká a je vstřebáno sliznicí vejcovodu nebo dělohy.^{4,5,6}

Děloha (uterus)

Je svalový dutý orgán hruškovitého tvaru, který je uložěn v malé pánvi mezi močovými měchýři a konečníkem. Horní část je pokryta pobřišnicí a zbývající část obaluje vazivo. Dutina dělohy v dolní části ústí do pochvy a v horní je spojena s vejcovody. Hlavní části dělohy jsou tělo děložní (corpus uteri) - dno děložní (fundus uteri), rohy děložní (cornua uteri), hrdlo děložní (cervix uteri) - šípek děložní (portio vaginalis), isthmus uteri o zúžený úsek mezi tělem a hrdlem děložním a dutina děložní (cavitas uteri). Stavba dělohy se skládá z endometria což je sliznice, pokrytá cylindrickým epitelem, s velkým množstvím žlázek, pod vlivem hormonů prodlává 28 denní menstruační cyklus, myometria, což je silná vrstva svaloviny, uspořádaná ve spirály vycházející z děložních rohů a perimetria je vazivo, které přechází do okolí, kde tvoří

vazivové pruhy drží d lohu ve stálé poloze, což je tzv. peritoneální kryt t la d lohního. ^{4, 5, 6}

Pochva (vagina)

Je kopula ní orgán fleny, trubice dlouhá cca 8 cm. Spojuje d lohu s vulvou. Horní ást pochvy obemyká d lohní hrdlo a dolní ást tvo í vchod po-evní (ostium vaginae), ten je neúpln uzav en tenkou kofní asou tzv. hymenem neboli panenskou blánou. Skládá se ze sliznice, která je z vrstevnatého dlafdicovitého epitelu. V oblasti ípku p echází v endometrium. Dále se skládá z hlenu, který je tvo en ze flázek d lohního kr ku a obsahuje oloupané bu ky sliznice pochvy. Je t pen mikroorganismy, flujícími na sliznici pochvy, na kyselinu mlé nou, která vytvá í v pochv kyselé prost edí. ^{4, 5, 6}

Zevní pohlavní orgány ó vulva

- 1) Mons pubis (Veneris) téfl také Venu-in pohorek, je tukový pol-tá p ed stydkou kostí, k fle zde je porostlá chlupy.
- 2) Velké stydké pysky (labia majora) jsou kofní valy podlofené tukem a porostlé zevn chlupy, mezi nimi je t rbina stydká (rima pudendi).
- 3) Perineum neboli hráz, nachází se mezi zadní komisurou a ítním otvorem.
- 4) Malé stydké pysky (labia minora) se nacházejí nad povrchem od labia majora. Je to jemná k fle bez chlup , vp edu jsou spojeny frenulem neboli uzdi kou, p es clitoris a tvo í preputium.
- 5) P edsí po-evní (vestibulum vaginae) je prostor mezi malými stydkými pysky, ústí zde urethra, pochva a glandulae vestibulares.
 - a) Topo ívá t lesa ó clitoris ó rudiment penisu, bulbi vestibuli ó nahromad ní flilních pletení ve spodin malých stydkých pysk
 - b) filázy ó glandulae vestibulares majores (p í pohlavním vzru-ení) a glandulae vestibulares minores (trvalé zvlh ování p edsín po-evní). ^{4, 5, 6}

2 KARCINOM LEDVIN A MOŽNOSTI LÉČBY

2.1 Nádory ledvin

Jako nádor ledvin může být označeno maligní i benigní onemocnění renálního parenchymu a dutého systému ledvin. Nejčastějším maligním nádorem je adenokarcinom, který tvoří 85 % zhoubných nádorů ledvin, který vzniká z buněk proximálních tubulů. Zvláštní skupinou nádorů jsou uroteliální papilomakarcinomy ledvinné pánvičky, které tvoří 7 - 8 % maligních tumorů ledvin. V dětském věku se vyskytuje tumor zvaný nefroblastom nebo-li Wilmsův tumor tvoří 5 - 6 % všech maligních nádorů ledvin. Benigní nádory jsou řádkově méně časté, je to například adenom, onkocytom, angiomyolipom a další.^{7, 14}

Tabulka 1.1 Klasifikace nádorů ledvin

Benigní		Maligní	
<i>mezenchymové</i>	Fibrom	<i>mezenchymové</i>	Sarkomy
	Angiolipom	<i>epitelové</i>	Karcinomy
	Angiomyolipom	<i>embryonální</i>	Nefroblastom
	Reninom		Embryonální karcinom
<i>Epitelové</i>	Adenomy	<i>jiné</i>	Maligní limfom
	onkocytom		Sekundární nádory

Zdroj: KLENER, Pavel a Jiří VORLÍČEK. *Klinická onkologie*

2.1.1 Epidemiologie

Zhruba 3 % maligních tumorů dospělé populace tvoří adenokarcinom ledviny. V České Republice jeho incidence významně stoupá, jak u mužů, tak i u žen se bohužel přidáme ve frekvenci výskytu tohoto tumoru na první místo v zemích Evropy. (Incidence a mortalita graf 1 viz přílohy). Při stanovení diagnózy má obvykle jen třetina případů detekovatelné metastázy. Asi u 5 % pacientů se vyskytují oboustranné karcinomy ledvin. Výskyt adenokarcinomu ledviny je dvakrát častější u mužů než u žen, Wilmsův nádor tvoří asi 8 % dětských solidních nádorů.^{7, 14}

(Věková struktura populace pacientů graf 2 viz přílohy)

2.1.2 Etiologie

K rizikovým faktorům, které jsou spojené s vyšším výskytem adenokarcinomu ledviny, patří kouření, obezita, kontakt s ropnými produkty, azbestem nebo těžkými kovy. Vyšší výskyt adenokarcinomu v zemích východní Evropy je popisován zhoršenými životními podmínkami (azbest, olovo, organická rozpouštědla). Riziko vzniku karcinomu ledvin zvyšuje také chronická iradiace. V této výskyt nádoru byl zaznamenán u ledvin, které byly postiženy polycystózou. Zvýšené riziko je i u pacientů s chronickou renální insuficiencí a se získanými ledvinnými cystami. Genetická závislost byla prokázána u von Hippelovy a Lindauovy choroby. Nádory ledvinné pánvičky mají stejnou etiologii.^{7, 14}

2.1.3 Příznaky nemoci

Příznaky mohou být specifické a nespecifické.

Mezi specifické příznaky:

- 1) Hematurie je nejčastějším příznakem adenokarcinomu ledvin. Může být makroskopická (je viditelným příznakem) a mikroskopická (je často chyběně diagnostována jako infekční onemocnění močových cest).
- 2) Bolesti v bederní krajině nebo hmatný tumor v místě ledviny, který se vyskytuje pouze u pokročilých tumorů.
- 3) Varikokéla vzniká například při poruše průchodnosti spermatické šňůry vlivem útlaku tumoru, nebo trombotizací ledvinné šňůry.

Mezi nespecifické příznaky:

- 1) Kachektizace způsobuje nechutenství a hmotnostní úbytek.
- 2) Hypertenze
- 3) Polycytémie je způsobena ektopickou tvorbou erytropoetinu nádorovými buňkami.
- 4) Známky imunitní odpovědi jako je zvýšená teplota a zánětlivé humorální projevy (FW, CRP). Karcinom ledviny často vyvolává zánětlivou reakci organismu.
- 5) Kardiologické příznaky, tachykardie, extrasystoly jsou příznaky málo časté a tudíž i málo známé.
- 6) V průběhu nemoci u 20 až 30 % pacientů dochází po radikální nefrektomii k relapsu onemocnění. Nejčastěji se objeví plicní metastázy (50 -60 %), méně často kostní (20 %), jaterní (15 %), i metastázy v CNS (8 %). K relapsu onemocnění dochází do 1 až 2 let.^{7, 14}

2.1.4 Diagnostika a staging

Klinická vyšetření o P i fyzikálním vyšetření je viditelná i hmatná rezistence v oblasti ledvin. U mužů se v ní kolika procentech může vyskytovat symptomatická varikokéla. Dále pak varikozita stěny břišní a otoky dolních končetin, ty mohou být příznakem pokročilého onemocnění.

Pro diagnózu jsou rozhodující zobrazovací metody:

- 1) Vylučovací urografie má stále svůj význam, i když může odhalit jen nádory větší než 3 cm. Na přítomnost nádoru mohou upozornit centrální kalcifikace, event. změna velikosti ledviny.
- 2) Ultrasonografie může odhalit i raná stadia nádoru, je to nejčastější indikací nádoru ledvin.
- 3) Počítačová tomografie s kontrastem se dnes považuje za nejlepší vyšetřovací metodu, neboť její senzitivita je až 95 %. Umožňuje diagnostikovat i nádory, jejich průměr je menší než 3 cm.
- 4) Magnetická rezonance má oproti CT přednost v přesném posouzení vztahu nádoru k okolním strukturám, zejména ve vyšší senzitivitě k zobrazení extenze nádoru do renálních hilů a do v. cava. Je indikována též u nemocných, kterým nelze podat pro alergii i renální insuficienci, kontrastní látku před vyšetřením CT.
- 5) Angiografie (arteriografie a kavografie) o se dnes používá méně často, nebo informace, které tyto metody poskytují, získáme z vyšetření MR.
- 6) Punkční biopsie o pod USG kontrolou má význam v případech, kdy cystický útvar diagnostikovaný ultrasonograficky i na CT je podezřelý z přítomnosti maligních struktur. Tekutina z benigní cysty je slámovitá, bílá, chudá na bílkovinu a laktátdehydrogenázu, kdežto tekutina s přítomností krve, s vysokým obsahem bílkovin, tuku a se zvýšenou koncentrací LHD, svědčí pro malignitu.
- 7) Laboratorní vyšetření mají doplňkový význam.^{8,14}
- 8) PET/CT o FDG-PET vzhledem k variabilní a často nízké utilizaci FDG v karcinomu ledviny není vhodnou metodou pro primární staging. Přínosné však může být FDG PET/CT v rámci vyhledání vzdálených metastáz. PET resp. PET/CT vykazují ve srovnání s CT a MRI vyšší senzitivitu k detekci lokální recidivy karcinomu ledviny. PET/CT může být přínosné ke sledování efektu léčby u pacientů s generalizovaným nádorem.⁹

- 9) Izotopové vyšetření ledvin slouží především jako funkční vyšetření, umožní pouze posoudit stav kontralaterální ledviny, čímž může ovlivnit operační postup.⁸

2.1.5 TNM klasifikace rozsahu tumoru a klinická stádia

Stanovení klinického stádia (viz přílohy graf 3 vývoj zastoupení klinických stádií) je rozhodující pro další léčebný plán, určuje rozsah primárního tumoru a popípad postifení regionálních uzlin. Dle toho můžeme posoudit funkci a morfologii druhostranné ledviny a místo lokalizace metastáz. (TNM klasifikace carcinoma ledvin tabulka 2 a klinická stádia tabulka 3 viz přílohy.)

Rozlišíme 4 stupně diferenciace tumoru:

- a) GX – stupeň diferenciace nelze hodnotit
- b) G1 – dobře diferencovaný
- c) G2 – středně diferencovaný
- d) G3 – G4 – málo diferencovaný a nediferencovaný⁸

2.1.6 Léčba

a) Chirurgická léčba je základní léčba u nádoru ledvin. Provádí se buďto radikální nefrektomií, kdy se odstraní ledvina s tukovým pouzdrem, nadledvinami a popípad postifenými lymfatickými uzlinami, nebo záchovná operace ledviny, kdy se odstraní pouze tumor v dané lokalitě bez zvýšeného rizika progresu choroby.

b) Chemoterapie je velmi málo účinná, využívá se cytostatikum vinblastin a lomustin.

c) Radioterapie se dnes doporučuje pouze k paliativní léčbě kostních nebo mozkových metastáz. To znamená, že je nádor inoperabilní, prokrvený, krvácející a často bolestivý. Cílem je zmírnit či zastavit hematurii a ulevit od bolesti. Karcinom ledvin je radiorezistentní.

d) Hormonální léčba byla velmi omezená, v současnosti krátkodobá. Léčba probíhala zejména s vysokými dávkami gestagenu nebo tamoxifenem.^{7,8}

2.2 Nádory močového měchýře

Nádory močového měchýře jsou označovány jako maligní a benigní onemocnění stny močového měchýře. Mezi nejčastější nádory močového měchýře patří nádory z plochodenného epitelu urotelu. Morfologicky mají nejčastěji charakter papilárních nádorů. Mezi vzácné typy maligních epitelových nádorů v této lokalizaci patří adenokarcinomy, nediferencované karcinomy, dlečdicobuněné karcinomy a nejčastěji malobuněné. Mezi karcinomy mezenchymálního původu patří leiomyosarkom, rabdomyosarkom a popřípadě maligní lymfomy.^{8, 14}

2.2.1 Epidemiologie

Dle údajů WHO představují v celosvětovém měřítku asi 3 % všech malignit a jsou tak čtvrtým nejčastěji se vyskytujícím nádorovým onemocněním. Více postihují muže než ženy a to v poměru 2-3:1. V České Republice stejně jako v dalších zemích promyslové Evropy má incidence (25/100 000) stoupající tendenci a toto onemocnění postihuje spíše mladší věkové skupiny.^{8, 14} (Věková struktura populace pacientů graf . 5, incidence a mortalita graf . 4 viz přílohy.)

2.2.2 Etiologie

Rizikové faktory lze rozdělit do několika skupin:

- 1) Kouření je nejdůležitější etiologický faktor, riziko výskytu se u kuřáků zvyšuje zhruba o ¼.
- 2) Kancerogeny ze skupiny aromatických aminů sem patří naftylamin, benzidin, ortotoluidin a další.
- 3) Léky a farmaceutické preparáty jako jsou cytostatika (cyklofosfamid) a analgetika (fenacetin).
- 4) Chronická onemocnění močového traktu jako jsou onemocnění s chronickou uroinfekcí, litiázou a schistomiázou vedou k vyššímu vzniku karcinomu močového měchýře.
- 5) Genetické vlivy, výskyt nádoru močového měchýře byl pozorován u syndromu Lynch II.^{8, 14}

2.2.3 Příznaky nemoci

- 1) Hematurie je makroskopická, často asymptomatická a intermitentní, u 75 % pacientů.
- 2) Dysurie, polakysurie je cca u 1/3 pacientů.
- 3) Urgence a uroinfekce
- 4) Bolesti v bederní krajině způsobené metastázami v HMC.
- 5) Renální insuficience je známka pokročilého onemocnění.¹⁴

2.2.4 Diagnostika a staging

2.2.4.1 Vyšetření vedoucí ke stanovení diagnózy

- 1) Fyzikální vyšetření může sloužit k odhalení i pokročilých nádorů, hmatný i při palpaci břišní vyšetření podbřišku, vyšetření per rectum i per vaginam s bimanuální palpací.
- 2) Laboratorní vyšetření může ukázat nález mikroskopické hematurie.
- 3) Ultrasonografie je základní vyšetřovací metoda při podezření na onemocnění močového ústrojí. Při tomto vyšetření objevíme intraluminální rostoucí tumory, orientačně můžeme vyjádřit i hloubku invaze do stěny. Dále můžeme zhodnotit případné metastázy v játrech.
- 4) Vylučovací urografie (VUG) nám udává informaci o rozsahu nádorového onemocnění (cystogram) a současně nám může pomoci zhodnotit stav HMC.
- 5) Počítačová tomografie (CT) dokáže zhodnotit především lokální rozsah nádorového onemocnění a jeho vztah k okolním orgánům a současně může vyslovit podezření na metastázy.
- 6) Diagnostická endoskopie zhodnotí stav sliznice močového ústrojí a dokáže odhalit i nádory, které nemohly být objeveny jinými vyšetřovacími metodami.
- 7) Endorektální biopsie tumoru močového ústrojí slouží k histologické verifikaci nálezu a díky tomu dokážeme posoudit i hloubku invaze tumoru do stěny močového ústrojí.^{8, 14}

2.2.4.2 Vyšetření pro stanovení klinického stádia

- 1) Gynekologické vyšetření je prováděno u všech žen s onemocněním močového ústrojí.
- 2) RTG vyšetření plic
- 3) USG jater a břišní dutiny

- 4) Scintigrafie skeletu
- 5) Rektoskopie, kolonoskopie, CT nebo MR pánve se provádí při podezření na lokální pokročilý případ šířením do okolí.^{8, 14}

2.2.5 TNM klasifikace rozsahu tumoru a klinická stadia

O léčebné strategii rozhoduje grading tumoru. Až se provedou jednotlivá vyšetření, tak se stanoví klinické stádium dle TNM klasifikace (TNM klasifikace tabulka 4 a klinická stadia tabulka 5 viz přílohy).⁸ Zastoupení klinických stadií v procentech graf 6 viz přílohy.

Rozlišíme 4 stupně diferenciace tumoru:

- a) GX – stupeň diferenciace nemůže být určen
- b) G1 – dobře diferencovaný
- c) G2 – středně diferencovaný
- d) G3 – špatně diferencovaný / nediferencovaný¹⁶

2.2.6 Léčba

a) **Chirurgická terapie**, výkon se dělí do tří skupin:

1. Operační výkon u povrchových nádorů jako je transuretrální resekce (TUR) zjistí rozsah postižení, počet a velikost nádorů. Provádí se pouze, pokud lze kompletně odstranit celý tumor. Dále se tento výkon provádí u pacientů, kteří nemohou podstoupit radikální chirurgickou léčbu.
2. Operační výkon u infiltrujících nádorů zahrnuje radikální cystektomie s derivací močové kůly je odstraněna močová kůla, prostata a semenné vajíčka a u ženy jsou odstraněny vnitřní pohlavní orgány.
3. Operační výkon zajistí pouze derivaci močové kůly (stenty a nefrostomie, uretrální katétry) se provádí při obstrukci ureterálních ústí močovým ovodním tumorem.¹⁶

b) **Radioterapie**

1. Zevní kurativní radioterapie, její výhodou je ponechání močové kůly se zachovalou funkcí rezervoáru. Vyvolává se u pacientů, u kterých není možná radikální chirurgická léčba. Úspěšnost radioterapie je nižší než u chirurgické léčby.

Komplikace, která může nastat u ozáření, je postiradiační cystitida a následné snížení množství moči.

2. Paliativní radioterapie má nezastupitelnou úlohu, samotná je indikována zřídka, většinou se kombinuje s chemoterapií a to u lokálně pokročilých karcinomů.¹⁶

c) Chemoterapie se podává ve různých formách

1. Lokální intravezikální se podává u difúzního carcinoma a dále pak u povrchových carcinoma po provedené TUR.
2. Systémová má hlavní význam u pacientů s pokročilými formami onemocnění (paliace).
3. Adjuvantní je velmi účinná metoda a to především u pacientů s pozitivními uzlinami a s vyšším stupněm nezralosti.
4. Neoadjuvantní není standardní metodou.⁸

3 KARCINOM PROSTATY A VARLAT

3.1 Karcinom prostaty

Karcinom prostaty je jedním z nej častěji se vyskytujících novotvarů u mužů kolem 70. roku věku. Nej častější variantou je adenokarcinom (90 %), vznikající ze sekrečních buněk prostatických acinů. Ostatní varianty jsou vzácné.^{8, 14}

Tabulka 3.6 Přehled maligních nádorů prostaty

Epitelové nádory	Mezenchymové nádory	Lymfomy
Adenokarcinom s acinózní a) křibiformní b) solidní Karcinom z přechodného epitelu Karcinom dlaždicobuněčný Karcinom endometroidní Karcinom intraduktální (papilární) Karcinom nediferencovaný (malobuněčný)	Rhabdomyosarkom Leiomyosarkom	

Zdroj: KLENER, Pavel a Jiří VORLÍČEK. *Klinická onkologie*

3.1.1 Epidemiologie

Karcinom prostaty patří mezi nej častější nádorová onemocnění u mužů. V Evropských zemích představuje asi 13 % všech karcinomů v mužské populaci a v 9 % je příčinou smrti.^{8, 14}

(Incidence a mortalita graf 3.7 a zastoupení vkové populace pacientů graf 3.8 viz přílohy).

3.1.2 Etiologie

Rizikové faktory dělíme do několika skupin:

- 1) Genetické vlivy, na tomto podkladě vzniká asi 9 % rakovina prostaty, pravděpodobně se jedná o autosomálně dominantní dědičnost.
- 2) Věk
- 3) Dietetické návyky což je vyšší konzumace zeleniny.
- 4) Etnické vlivy, kde výrazně vyšší incidence je u indoevropské populace, zejména u Indiánů.

- 5) Profesionální expozice jako je farmáctví, je jediná profese, kde bylo prokázáno dvojnásobné riziko vzniku karcinomu prostaty. Dále pak je zaznamenáno vyšší riziko u pracovníků s ionizujícím zářením.
- 6) Hormonální vlivy^{8,14}

3.1.3 Příznaky nemoci

Příznaky onemocnění bývají často shodné s příznaky benigní hyperplazie prostaty a to jak v mikční sféře obstrukční (slabý proud moče, jeho porušení, retardace mikce), tak i ve sféře iritace (urgentní mikce a inkontinence, nykturie). Protože je reduplikace dobyca prostaty (doba potřebná ke zdvojení jeho objemu) dlouhá, více než dva roky, bývají příznaky známkou již pokročilého stádia onemocnění. Jelikož prostata vychází nejčastěji z periferní části flázy, tak vznikají mikční příznaky relativně pozdě, na rozdíl od hyperplazie prostaty, která se rozvíjí od začátku periuretrálně. Občas bývá prvním příznakem zadržování moče nebo hemospermie, ale také mohou být prvními příznaky kostní bolesti, které jsou způsobené kostními metastázami jiného asymptomatického onemocnění. Oteklé dolní končetiny jsou příznakem postižení pánevních lymfatických uzlin.^{8,14}

3.1.4 Diagnostika a staging

3.1.4.1 Vyšetření vedoucí ke stanovení diagnózy

- 1) Vyšetření per rectum hraje velmi významnou roli zvláště ve screeningu u mužů starších 50. let.
- 2) Nádorové markery, téměř ideální marker, který slouží ke stanovení diagnózy je prostatický specifický antigen (PSA).
- 3) Transrektální ultrasonografie (TRUS) je nejčastěji prováděna sondou 7,5 MHz, která je vybavena bioptickým naváděním. Má jedinou roli při odběru bioptického vzorku.
- 4) Biopsie prostaty slouží ke konečnému stanovení diagnózy, je prováděna za USG kontroly transrektálně. Odebírá se 6 až 8 vzorků.

3.1.4.2 Vyšetření vedoucí k posouzení stádia choroby a stagingu

- 1) Vyšetření k posouzení velikosti nádoru je jako základ provedení transrektálního digitálního vyšetření nebo transrektální USG. Méně se využívá CT nebo MR.

Přesné stanovení velikosti nádoru umožní histologické vyšetření vzorku, odstraněného při radikální prostatektomii.

- 2) Vyšetření uzlin
- 3) Vyšetření metastáz provádíme scintigrafií skeletu, dále se provádí RTG plic a USG jater.^{8,14}

3.1.5 TNM klasifikace rozsahu tumoru a klinická stádia

Nejčastěji histologickým typem rakoviny prostaty je adenokarcinom tzv. konvenčního typu, který vychází z acinárních buněk, vzácněji se vyskytují ductální adenocarcinom, mucinózní adenocarcinom z přechodného epitelu, malobuněčný ca, adenoskvamózní ca, dleňdicobuněčný ca a vysoce maligní sarkomatoidní ca. Přehled uveden v tabulce 7.

Pro určení stádia nemoci se využívá mezinárodní TNM klasifikace viz tabulka 8, klinická stádia se nacházejí v tabulce 9. Nejčastěji se využívá tzv. Gleasonovo desetistupňové skóre nebo trestupňová klasifikace WHO.¹⁴

(Zastoupení klinických stádií v procentech graf 9 viz přílohy.)

Tabulka 7 Histologické typy rakoviny prostaty a histopatologický grading

Histologické typy:	WHO grading:	Gleasonovo skóre:
Acinární adenokarcinom	GX ó grading nestanoven	2 ó 4 dobře diferencovaný
Duktální adenokarcinom	G1 ó dobře diferencovaný	5 ó 6 středně diferencovaný
Mucinózní adenokarcinom	G2 ó středně diferencovaný	
Neuroendokrinní tumor	G3 ó 4 ó málo diferencovaný/ nediferencovaný	7 středně –patrně diferencovaný
Malobuněčný anaplastický karcinom		
Nediferencovaný karcinom		8 ó 10 –patrně diferencovaný
Dleňdicobuněčný karcinom		
Karcinom z přechodných buněk		

Zdroj: ADAM, Zdeněk, Jiří VORLÍČEK a Jiří VANÍČEK. *Diagnostické a léčebné postupy u maligních chorob.*

3.1.6 Léčba

a) Chirurgická léčba odtěluje:

1. Radikální kampaň radikální prostatektomie (RAPE), což je odstranění prostaty včetně pouzdra a semenných váčků. Je to nejrozšířenější metoda léčby.
2. Paliativní semipať transuretrální resekce (TURP) která způsobí rekanalizaci prostatické uretry.

b) Radioterapie

1. Kurativní radioterapie bývá nej častěji indikována ve stádiích T1a a T2b N0 M0 u pacientů, kteří nechtějí nebo nemohou podstoupit RAPE.
2. Brachyradioterapie je moderní metoda, která spočívá v dočasné nebo trvalé implantaci radioaktivního zdroje do prostaty.
3. Paliativní radioterapie se používá u pacientů s pokročilým onemocněním, s progresí primárního tumoru a u kostních metastáz s cílem dosáhnout analgetického efektu.

c) Hormonální léčba je neoadjuvantní, škonkomitantní, adjuvantní a paliativní.

d) Chemoterapie je vždy paliativní.^{8,14}

3.2 Testikulární nádory

Nádory varlat vznikají aflu z 90 % ze zárodečné (germinální) buňky, zbytek je ze stromatu (z Leydigových a Sertolliho buněk) a z non-gonadálních buněk (maligní lymfomy, sarkomy). Podle histologie se dělí na seminomy, ty jsou prognosticky příznivější a neseminomy, které jsou prognosticky nepříznivé. Oba tyto druhy tumorů jsou potenciálně vyléčitelné a to i v pokročilejších stádiích.^{8,14}

3.2.1 Epidemiologie

Nádory varlat jsou nej častěji diagnostikovány (v 70 %) ve věkové skupině 20 až 40-ti let, asi 20 % se vyskytují u věkové skupiny do 40-ti let a jen v 10 % se mohou vyskytnout u mužů a chlapců mladších 20-ti let.^{8,14}

(V věkové struktuře populace pacientů graf 11, incidence a mortalita graf 10 viz přílohy.)

3.2.2 Etiologie

- 1) Nedostatek sestoupělé varle (kryptorchismus) je nejvýraznější rizikový faktor.
- 2) Záněty varlete
- 3) Chemické kancerogeny, jakými jsou herbicidy, pesticidy, chemická rozpouštědla, sloučeniny těžkých kovů, zinek a kadmia.
- 4) Genetické predispozice¹⁴

3.2.3 Příznaky nemoci

- 1) Příznaky z lokálního růstu jako je změna velikosti varlete.
- 2) Hormonální příznaky, zvýšená produkce choriogonadotropinu beta-HCG → ten způsobuje gynekomastii a mastalgii.
- 3) Příznaky šířící se diseminovaného tumoru jako jsou bolesti břicha a zad v bederní oblasti při metastatickém postižení uzlin retroperitonea.^{8,14}

3.2.4 Diagnostika a staging

- 1) Fyzikální vyšetření se provádí pohledem a pohmatem, vyšetříme scrotum, břicho, nadklíčky.
- 2) USG břicha, pokud ukáže podezření na tumor, je nutné jej histologicky ověřit.
- 3) RTG plic
- 4) CT se vyšetří retroperitoneální uzliny, játra a celá pánev.¹⁷
- 5) Markery tumor varlat jsou vysoce senzitivní a specifické a to i v případě malého rozsahu onemocnění. Stanovují se:
 - a) Alfa fetoprotein poukazuje na přítomnost floutkového váčku v tumoru.
 - b) Beta choriogonadotropin je nejčastěji produkován choriokarcinomem.
 - c) Laktátdehydrogenáza odráží velikost nádorové hmoty.^{8,14}

3.2.5 TNM klasifikace rozsahu tumoru a klinická stádia

Germinální nádory jsou děleny na dvě velké skupiny – seminomy a neseminomy.

- a) **Seminomy** tvoří asi 50 % všech germinativních ca.
- b) **Neseminomy** kam patří embryokarcinom, choriokarcinom, nádor ze floutkového váčku a teratom – zralý, nezralý.^{8,14}

Histopatologické typy tumor varlat uvádí tabulka . 10. (TNM klasifikaci a klinická stádia naleznete v tabulce . 11 a . 12. Zastoupení klinických stádií – graf . 12 viz přílohy.)

Tabulka . 10 ó Histopatologie tumor varlat

Nádory jednotné histologie	Tumory slofené z více histologických typ
Seminom Spermatocytický seminom Embryonální karcinom Polyembryom Teratom (zralý, nezralý) Tumor z floutkového vá ku (yolc sac tumor)	Embryonální karcinom Plus teratom Choriokarcinom Jiné

Zdroj: ADAM, Zden k, Ji í VORLÍ EK a Ji í VANÍ EK. *Diagnostické a lé ebné postupy u maligních chorob.*

3.2.6 Lé ba

1) LÉ BA SEMINOM

- a) Vysoká inkuinální orchiektomie
- b) Stádium I ó bez postifení uzlin ó aktinoterapie
- c) Stádium II ó postifení uzlin do 5 cm ó vy—í dávka aktinoterapie
- d) Stádium III ó postifení uzlin nad 5 cm ó chemoterapie“

2) LÉ BA NESEMINOM

- a) Vysoká inkuinální orchiektomie
- b) Retroperitoneální lymfadenektomie u stádia I. a II. ó následuje chemoterapie
- c) Vy—í stádia ó chemoterapie, lymfadenektomie, radioterapie ¹⁷

4 NÁDORY D LOFNÍHO T LA A D LOFNÍHO ÍPKU

4.1 Nádory d lofního t la

U nádor d lofního t la p evaflují nádory benigní, p edev-ím jako leiomyomy ó ty tvo í 90 % v-ech benigních nádor . Mezi maligní nádory pat í nej ast ji epitelové nádory (karcinomy). Z mezenchymové tkán endometria nebo myometria vznikají sarkomy. Nej ast j-ím nádorem d lofního t la je karcinom endometria, který se objevuje p eváfln u flen v menopauze a vykazuje stoupající incidenci. ^{8,14}

4.1.1 Epidemiologie

U karcinomu endometria se incidence pomalu zvy-uje. Nar stá s v kem, 75 % postiflených flen je jifl v menopauze a pouze 5 % postiflených flen je mlad-ích 40-ti let. ^{8,14} (Incidence a mortalita graf . 13, zastoupení v kové populace pacient graf . 14 viz p ílohy.)

4.1.2 Etiologie

Mezi rizikové estrogenní faktory pat í:

- 1) asná menarché
- 2) Pozdní menopauza
- 3) Obezita
- 4) Nulliparita
- 5) Insuficience flutého t líska
- 6) Dlouhodobé podávání tamoxifenu ^{8,14}

4.1.3 P íznaky nemoci

- 1) Mírné bolesti v podb í-ku
- 2) Hnisavý i sanquinolentní vaginální výtok sv d í o pokro ilej-ím stádiu.
- 3) Metroragie je hlavním symptomem nemoci, je to postmenopauzální krvácení z d lohy. ^{8,14}

4.1.4 Diagnostika a staging

4.1.4.1 Vyšetření vedoucí k potvrzení karcinomu děložního těla

- 1) Gynekologické vyšetření se provádí palpací a per rectum, dále ležitou součástí je kolposkopie a cytologie.
- 2) USG vaginálním vyšetřením zhodnotíme zvětšení dělohy, tloušťku endometria, přechod mezi endometriem a myometriem a rozšíření děložní dutiny.
- 3) Cytodiagnostika je intrakavitární odběr materiálu pomocí kartáček, zvyšuje úspěšnost záchytu na 60 až 90 %.
- 4) Separovaná abraze je bioptické vyšetření.
- 5) Hysteroskopie je vyšetření děložní dutiny pomocí hysteroskopu.
- 6) Význam nádorových markerů, zejména onkomarkeru CA 125.

4.1.4.2 Vyšetření vedoucí ke stanovení rozsahu

- 1) RTG plic
- 2) CT plic a dutiny břišní
- 3) USG dutiny břišní
- 4) Cystoskopie, rektoskopie
- 5) VUG a posouzení stavu ledvin^{8, 14}

4.1.5 TNM klasifikace rozsahu tumoru a staging

TNM klasifikace je založena na klinickém a/nebo patologickém stagingu, stádium FIGO vychází z chirurgického stagingu. Histologické typy karcinomu dělohy jsou rozloženy v tabulce . 13.

(Zastoupení klinických stádií v procentech graf . 15, TNM klasifikace a klinická stádía jsou uvedeny v tabulkách . 14 a . 15 viz přílohy.)

Tabulka . 13 o Histologické typy carcinoma dělohy

- | |
|---|
| <ul style="list-style-type: none">• Endometroidní karcinom (adenokarcinom a adenokantom)• Mucinózní adenokarcinom• Papilární serózní adenokarcinom• Světlobuněčný adenokarcinom• Adenoskvamózní karcinom• Nediferencovaný a smíšený karcinom |
|---|

Zdroj: KLENER, Pavel a Jiří VORLÍČEK. *Klinická onkologie*

4.1.6 Léčba

- a) **Chirurgická léčba** se provádí především u stádia I, II, III. Provádí se hysterektomie s bilaterální adnexektomií, laváží peritoneální dutiny, systematická lymfadenektomie.
- b) **Radioterapie** nachází uplatnění ve všech stádiích.
1. Adjuvantní ooperace
 2. Radikální operace inoperabilit
 3. Paliativní operace pokročilých stádií
 4. Brachyradioterapie používá se různé typy aplikátor
- c) **Hormonální terapie** medroxyprogesteronacetát, megestrolacetát
- d) **Chemoterapie** se provádí u extrauterinního těžení, většinou paliativní přístup.⁸

4.2 Nádory děložního čípku

Karcinom děložního čípku vychází z oblasti povrchového epitelu čípku exocervixu nebo cylindrického epitelu děložního kanálu nebo obojí endocervixu. Období vývoje dysplastických změn nazývaných cervikální intraepiteliální neoplázie (zkratka CIN I-III) často předchází vzniku onemocnění.^{8,14}

4.2.1 Epidemiologie

Nádor děložního čípku je druhou nejčastější gynekologickou malignitou. Nejčastěji postižené v České republice jsou:

- 1) Epiteliální dysplázie nejčastěji diagnostikovány ve věku 25 až 34 let.
- 2) Carcinoma in situ nejčastěji diagnostikovány ve věku 35 až 44 let.
- 3) Karcinom cervixu nejčastěji diagnostikovány ve věku 45 až 54 let.^{8,14}

(Incidence a mortalita graf 16 a v České republice zastoupení populace pacientů graf 17 viz přílohy.)

4.2.2 Etiologie

Vznik karcinomu je vícestupový proces, známe pouze epidemiologické faktory, exogenní a endogenní noxy, které mohou navodit vznik tumoru.

- 1) HPV virus se považuje za nejdůležitější etiologický faktor, rizikový typ je 16 a 18.
- 2) Kouření
- 3) Genitální infekce
- 4) Poruchy imunity, AIDS
- 5) Epidemiologické faktory
 - a) Časný začátek sexuálního života
 - b) Sexuální promiskuita
 - c) Vysoký počet porodů a potratů
 - d) První porod v mladém věku
 - e) Genetická predispozice^{8,14}

4.2.3 Příznaky nemoci

- 1) Krvavý a vodnatý výtok
- 2) Nepravidelné krvácení mimo menstruační cyklus
- 3) Krvácení po pohlavním styku

4.2.4 Diagnostika a staging

4.2.4.1 Vyšetření vedoucí ke stanovení diagnózy

- 1) Gynekologické vyšetření (kolposkopie, onkologická cytologie, histologické vyšetření) - dle zjištěných změn se stanoví vhodná metoda odběru biotického materiálu k vyšetření nálezu a to buď:
 - a) Cílená biopsie
 - b) Abrazedložní hrdla při endocervikálním nálezu
 - c) Konizace děložního čípku^{8,14}

4.2.4.2 Vyšetření ke stanovení rozsahu nemoci

- 1) Bimanuální rektovaginální palpační vyšetření
- 2) Laboratorní vyšetření
- 3) Cystoskopie, rektoskopie
- 4) RTG plic
- 5) IVU
- 6) CT a MR břišní a pánve^{8,14}

4.2.5 TNM klasifikace rozsahu tumoru a klinická stádia

Nejast j-í zóna je mezi cylindrickým a dlařdicovým epitelem. Asi 90 % v-ech cervikálních karcinom odpovídá histologii dlařdicobun-ného karcinomu a 10 % se tvo-í z adenokarcinomu. Ostatní typy jsou vzácné, viz tabulka . 16. Cervikální intraepiteliální neoplázie (CIN) jsou-asto ozna-ovány za prekancerózy dysplazie cervixu a karcinomu in situ.

CIN I. stupe je lehká dysplazie s poru-ěním vrstvení, porucha diferenciacce a ne-ětné mitózy v dolní t-etin epitelu.

CIN II. stupe je střední dysplazie.

CIN III. stupe je t-řká dysplazie, nebo karcinoma in situ se ztrátou vrstev, atypické mitózy a nediferencovaný epitel.^{8, 14}

(Zastoupení klinických stádií graf . 18. TNM klasifikace je uvedena v tabulce . 17, viz p-ílohy.)

Tabulka . 16 - Histologické typy ca d lořního-ípku

Spinocelulární karcinom <ul style="list-style-type: none">• Rohov-jící• Nerohov-jící ó velkobun-ný nebo malobun-ný
Adenokarcinom <ul style="list-style-type: none">• Endocervikální adenoca, ca z jasných bun-ek, papilárn-serózní, mucinózní, endometrioidní, adenoskvamózní, karcinoid, mezonefrický adenoca.
Ostatní <ul style="list-style-type: none">• Melanoma malignum• Smí-ěný mezenchymální tumor

Zdroj: KLENER, Pavel a Ji-í VORLÍ-ĚK. *Klinická onkologie*

G-ó histopatologický grading :

- 1) GX ó stupe- diferenciacce nelze hodnotit
- 2) G1 ó dob-ě diferencovaný
- 3) G2 ó středn-ě diferencovaný
- 4) G3 ó -patn-ě diferencovaný/nediferencovaný

R-ó klasifikace ó p-ítomnost-i nep-ítomnost reziduálního nádoru po lé-b

- 1) RX ó nelze hodnotit p-ítomnost reziduálního nádoru
- 2) R0 ó bez reziduálního nádoru
- 3) R1 ó mikroskopický reziduální nádor
- 4) R2 ó makroskopický reziduální nádor¹⁶

4.2.6 Léčba

a) **Chirurgická léčba** má dominantní postavení v pozdějších stádiích.

1. Konizace hrdla je kurativní výkon, pro CIN III. (karcinoma in situ).
2. Radikální vaginální trachelektomie se provádí u žen, které trvají na zachování fertility.
3. Hysterektomie je buď prostá, nebo radikální, s lymfadenektomií pánevních uzlin.

b) **Radioterapie** je hlavní léčebná metoda u stádia II. B a III. Používá se brachyradioterapie, kdy se do kleneb poševních, hrdla a dlohy zavádí duté aplikátory, do nichž se umístí radioaktivní zdroj.

c) **Chemoterapie** se dříve používala jako paliace u pokročilých forem.

d) **Imunoterapie** je u karcinomu šípku neúčinná.⁸

5 PET/CT

PET/CT neboli pozitronová emisní tomografie/výpočetní tomografie je tzv. hybridní zobrazovací metoda, kombinující výpočetní tomografii (CT) a pozitronovou emisní tomografii (PET). Tato vyšetovací modalita je využívána lékaři ke stagingu a restagingu především onkologických onemocnění. PET vyšetření informuje o funkcích změnách, které prakticky vždy předcházejí změny anatomické, a CT nám naopak poskytuje plnohodnotné anatomické - strukturální informace. Díky tomu mohou lékaři co nejpřesněji diagnostikovat a hodnotit stádium onemocnění. Tato metoda v současné době dominuje v onkologické diagnostice a jedná se o vyšetovací modalitu, která se svojí podstatou nalézá na pomezí nukleární medicíny a radiologie. Tato metodika zobrazování využívá malého množství radioaktivního materiálu pro diagnostiku i nenádorových onemocnění a nejvíce přínos vykazuje v nukleární kardiologii při vyšetování viability myokardu. Umožňuje posoudit metabolické pochody v těle pacienta na molekulární úrovni a tak nabízí potenciál identifikovat patologický proces v co nejranějším stádiu.^{10, 11}

5.1 Fyzikální principy detekce PET/CT

+ p em na

šZobrazování pomocí PET je založeno na koincidenční detekci fotonů záření gama s energií 511 KeV, jež jsou emitovány při přeměně pozitronových záření aplikovaných do organismu. Pozitronové radionuklidy se vyznačují tzv. beta plus přeměnou, kdy se proton transformuje na neutron, pozitron (beta +) a neutrino. Pozitron nemůže v hmotném prostředí existovat trvale, na konci jejich dráhy je setkání s elektronem okolní hmoty a jejich zánik o tzv. anihilace¹⁸

5.2 Radiofarmaka

Je to nejčastěji podávaná intravenózní látka, která se skládá ze dvou částí:

- 1) Radionuklidu o pozitronový záření a
- 2) Biologického nosiče ovlivněného např. glukóza, cholin, acetát a methionin.

V oblasti PET a PET/CT zobrazování se nejvíce uplatňují radionuklidy ¹⁸F, ¹⁵O, ¹¹C, ¹³N, ⁶²Cu, ⁶⁸Ga a ⁸²Rb. Nejrozšířenější aplikací radionuklidu v klinické praxi je ¹⁸F - FDG.

šVzniklá 2-(¹⁸F)-fluoro-2-deoxy_D-glukóza je transportována do bun k stejn jako normální glukóza. ¹⁸F-FDG není v bu ce kompletn metabolizována a po ur itou dobu se zde hromadí. Zejména nádorové bu ky disponují zvý-eným množstvím non ó inzulíndependentních glukózových transpondér , zrychlenou fosforylací a níř-í hladinu glukóza-6-fosfatázy. V-echny tyto faktory p sobí souhlasn a mechanismy ovlivn né t mito skute nostmi vedou ke zvý-enému vychytávání ¹⁸F-FDG.õ ¹⁹

5.3 Indikace PET/CT

Nejvíce se vyuřívá PET/CT k vy-et ení onkologicky nemocných pacient , významn mén pak i k diagnostice zán t , v kardiologii, neurologii a v psychiatrii.

Klinické indikace PET/CT v onkologii:

- 1) Diagnostika maligních lézí
- 2) Grading malignit
- 3) Vy-et ení metastáz bez známek primárního tumoru
- 4) Staging / restaging
- 5) Lokalizace p ed biopsií neagresivn j-í ásti nádoru
- 6) Plánování RT
- 7) Hodnocení reakce ca na lé bu (CHT, RT) ^{18, 23}

5.4 P íprava pacienta p ed vy-et ením (ve FN Plze ó Lochotín)

- 1) Pacient by p ed vy-et ením nem l provád t řádnou náro n j-í fyzickou práci nebo sportovní výkony. Mohlo by dojít k ovlivn ní akumulace radioaktivní látky ve svalech a tím i k ovlivn ní výsledku vy-et ení.
- 2) Dále je d leřité, aby se pacient dostavil k vy-et ení nala no, potravu by nem l p íjímat min. 4 hodiny p ed vlastním vy-et ením. M ěle p ořít pouze men-í množství neslazené tekutiny (ne kávu a alkohol).
- 3) Poté bude pacientovi p ed vy-et ením zaji-t n řilní vstup odbornou zdravotnickou sestrou v podob kanyly, nej ast ji na horní kon etin .
- 4) Pacient by m l p íjít v doprovodu druhé osoby a nem l by po vy-et ení ídit motorové vozidlo. ¹²

5.5 Vyšetovací protokol

Šhodnotné validní PET/CT vyšetření vyžaduje nezbytnou přípravu pacienta. Základním předpokladem je laňní. Nízka hladina glukózy snižuje fyziologické vychytávání F¹⁸FDG v kosterním svalstvu a ve stěně. Normálními bazálními hodnotami glykémie lze minimalizovat nebezpečí vzniku neřádoucích artefaktů. Hyperglykémie naopak zvyšuje kompetici mezi glukózou a F-FDG, což vede ke snížené akumulaci radiofarmaka v nádorových buňkách. Hladina glykémie v krvi nemocného se standardně měří před aplikací F¹⁸FDG. Akceptovatelná je hladina do 10, maximálně do 13 mmol/l. Při vyšších hodnotách glykémie je nejvhodnější pacienta před objednat na termín, kdy bude diabetes lépe kompenzován. Příjem tekutin není omezený do samotného vyšetření. Doporučeno je pití vody a nesladkých nápojů, čímž je dosaženo rovnoměrné distribuce radiofarmaka v organismu. Dostatečná hydratace je řádoucí, nebo snižuje radiační zátěž a omezuje eventuální riziko poškození ledvin intravenózní kontrastní látkou. Intravenózní aplikací jodové kontrastní látky před vyšetřením je docíleno zlepšení zobrazení cév a cévního zásobení fyziologických struktur i patologických lézí. Dosaženo je také lepšího rozlišení CT skenů a obrazy jsou lépe hodnotitelné. Samotné PET/CT vyšetření začíná realizací CT topogramu, poté je stanoven axiální rozsah CT fáze a po PET sekvencích. Následuje provedení CT vyšetření s intravenózně podanou kontrastní látkou a vyšetření je zakončeno PET zobrazením v sekvenčním režimu. Během snímání leží pacient na lůžku, které se posouvá skrze detekční prstenec v gantry přístroje. Celotělové vyšetření trvá 15 až 25 minut. Vyšetovací protokol se může lišit, v které práci pro korekci dat nejprve provádí šlow dose CT, pokračují PET fází a nakonec plnohodnotné CT s intravenózní jodovou kontrastní látkou.¹⁹

5.6 Postup vyšetření PET/CT

- 1) Informovaný souhlas pacienta s vyšetřením
- 2) Kontrola hmotnosti pacienta
- 3) Kontrola glykémie
- 4) Podání kontrastní látky per os 1 až 2 l (jódový roztok, manitol, orbitol, baryum) až 60 až 90 min před vyšetřením
- 5) Aplikace radiofarmaka F¹⁸FDG i. v. (aplikovaná aktivita 300 až 400 MBq dle hmotnosti)
- 6) Vyprázdnění močového měchýře

- 7) T sn p ed vy-et ením se aplikuje jodová kontrastní látka i. v.
- 8) Akvizice v závislosti na indikaci nej ast ji za 60 min po aplikaci farmaka
- 9) Celot lové snímání od proximální t etiny stehem po bazi lební (doba akvizice trvá cca 15 ó 30 min)
- 10) Zhodnocení a archivace výsledk ¹⁹

5.7 Kontraindikace PET/CT

- 1) Nesouhlas pacienta s vy-et ením
- 2) T hotenství
- 3) Hmotnost nad 150 kg (max. nosnost vy- stolu)
- 4) Klaustrofobie
- 5) Deformace trupu a t la
- 6) Hodnota glukózy v krvi nad 13 mmol/l ¹⁹

5.8 Indika ní kritéria PET/CT

5.8.1 Karcinom mo ového m chý e

Vzhledem k fyziologickému vylu ování FDG do mo i je FDG PET k diagnostice u nádor mo ového m chý e primárn nevhodný. Klí ovou úlohu ve vyhledávání primárního nádoru mo ového m chý e a recidivy hraje endoskopie.

Využití PET/CT:

- 1) M fle být p ínosné k detekci lokální recidivy nebo reziduálního tumoru mo ového m chý e.
- 2) V rámci celot lového snímání sloufí k odhalení vzdálených metastáz.
- 3) Hodnocení p sobení terapie a restaging postifených lymfatických uzlin a vzdálených metastáz.
- 4) Udává nám rozdíl fibrózních zm n od lokální recidivy. ^{20, 21, 23}

5.8.2 Karcinom ledvin

FDG-PET není vhodnou metodou pro primární staging vzhledem k její variabilní a asto nízké utilizaci FDG v karcinomu ledvin. Jelikofl je metabolismus glukózy v primárním nádoru variabilní je využití samotného PET vy-et ení omezeno a diagnóza se zakládá p edev-ím na post kontrastním CT vy-et ení. Citlivost ó FDG ó PET pro

diagnózu renálného karcinomu je nízka – okolo 60% versus 92% CT, špecifita je však vysoká a stejná ako CT dosahuje takmer 100%. Významnou rolu hrajú FDG a PET a PET/CT v diferenciálnej diagnostike neuritických ložísk v lícovej oblasti po nefrektómii a v vyhľadávaní vzdialených metastáz.^{20, 21, 23}

5.8.3 Karcinom prostaty

Úloha PET/CT je u nádoru prostaty stále je-tá v vývoji, ale pravdepodobne bude mať najdefinitívnejšiu úlohu pri detekcii reálného relapsu u pacienta s agresívnym tumorom a u pacienta s pokročilým ochorením. Pro vyšetrenie karcinomu prostaty sa špeciálne ¹⁸F-FDG stáva najvhodnejším ¹¹C- a ¹⁸F-cholinu a acetátu. Zdá sa, že sľubné predovšetkým pre zhodnotenie postavenia lymfatických uzlín v rámci iničiálneho stagingu. Výhodou PET/CT je celotelové snímanie. Nevýhodou je radiačná záťaž a vyššia cena vyšetrenia, preto je toto vyšetrenie odporúčané iba u vysoko rizikových pacientov. FDG/PET a PET/CT je diagnostickým prínosom v nasledujúcich prípadoch:

- 1) Je-li hladina PSA vyššia ako 4 ng/ml
- 2) U pacienta s pokročilým alebo recidivujúcim ochorením.
- 3) Nejednoznačné nálezy na klinické zobrazovacie metódy
- 4) Nedostatočná reakcia na zahájenú liečbu
- 5) Negatívna kostná scintigrafia
- 6) PET môže byť predikátorem účinnosti androgénnej ablácie^{20, 21}

5.8.4 Testikulárny nádor

FDG/PET a PET/CT má význam u pacienta po orchiektómii, ďalej pak u pacienta s metastatickými germinatívnymi nádorami. FDG-PET/CT vykazuje vysokú senzitivitu a negatívnu prediktívnu hodnotu pre detekciu reziduálneho nádoru a pre vyhľadávanie recidivy. U 56% pacientov je na základe tohoto vyšetrenia popisovaná zmena stratégie liečby.

5.8.5 Nádory v gynekológii

PET/CT není vhodnou metódu v diferenciálnej diagnostice benigných a maligných nádorov a to z dôvodu falešnej positivity normálnych ovaríí fertílnych žien v dobe ovulácie, pri zánatách a pri benigných zmenách. Nálezy môžu byť špeciálne naopak falešne pozitívne u borderline tumorov a maligných nádorov s cystickou složkou. Primárny prínos FDG-PET spočíva v možnosti hodnotenia lymfatických uzlín a vzdialených metastáz. Lokálne

hodnocení nádoru primárně diagnostikujeme CT a MR vyšetřením. Hybridní PET/CT je schopné vyhodnotit jak lokální rozsah nádoru, tak i postifení LU a vzdálené metastázy, navíc je FDG-PET schopna odlišit fibrozní tkáň v pánvi od recidivy karcinomu. Dále se FDG-PET/CT začíná uplatňovat v plánování radioterapie u pokročilého i recidivujícího karcinomu dolního hrdla.^{20, 22}

PRAKTICKÁ ÁST

6 KAZUISTIKY

6.1 Kazuistika 1

C 64 Tumor levé ledviny s lymfadenopatií paraaortáln , mediastinu a v plicních hilech ó cT3aN2M1

Anamnéza muže narozeného v roce 1948

- **RA:** rodi e zem eli v 52 letech, neví p esn na co, sestra ca plic, d ti zdravé
- **OA:** epididymitis, st. po luxaci AC vlevo, cerkláfl, kov ex, operace varix vlevo, st. p. operaci halux rigidus, pomalé hojení, ICHDK
- **Abusus:** ku ák afl 20 cigaret denn
- **Alergie:** nejuje
- **PA, SA:** nyní SD, d íve elektriká
- **Léky:** Timolol, Luxfen, Tanyz, Enelbin tbl, Atoris

Diagnózy

- C 64 sv tlobun ný karcinom levé ledviny s metastatickým postífením uzlin paraaortáln , v mediastinu a v plicních hilech G1 T3aN2M1
- I 10 Arteriální hypertenze
- H 409 Glaukom
- Z 924 st. po operaci AC luxace vlevo, cerkláfl, kov ex, varixy LDK, katarakta, halux rigidus
- E 789 Porucha metabolismu lipoprotein

Nyn j-í onemocn ní

Pacient vy-et ován pro BPH (benigní prostatická hyperplazie) ó pravidelné prohlídky, na USG a následn CT nález tu levé ledviny s lymfadenopatií p i aort . Dopln no PET/CT ó renální karcinom vlevo typ II. metastázy v uzlinách, retroperitonea, mediastina a v plicních hilech. P íjat k biopsii paketu uzlin paraaortáln vlevo pod CT kontrolou.

Návštěva urologické ambulance u nemocného vyšetřovaného pro BPH, při kontrole nalezen tumor levé ledviny, doplněno CT břicha s nálezem tumoru velikosti 4 cm o přední ret levé ledviny a paket uzlin v retroperitoneu paraaortálně vel. 6x5x10 cm s kolikvaci.

Zobrazovací metody:

- **CT vyšetření o Biopsie paketu uzlin v retroperitoneu pod CT kontrolou** o zcela miniaturní fragment, který byl prokrájen v dlouhých sériích, obsahuje svtloubně izolované elementy a lymfoidní infiltrát. Materiál reaguje z větší části pozitivně s vimentinem.

Závěr: S vysokou pravděpodobností se jedná o struktury svtloubněho renálního karcinomu. Validita výsledku je však limitována jeho miniaturností. Po výkonu byl pacient stabilní, bez komplikací, propuštěn v uspokojivém stavu.

- **PET/CT trupu 18 FDG s k. l. i. v.** o na krku a v axilách bez zvýšených i metabolicky aktivních uzlin, v předním mediastinu retrosternálně, subkraniálně a v zadním mediastinu nad levým bráněním krurem patrně zmnožené metabol. uzliny do vel. 25 mm, SUV max. 1,5 o 3,7. Zmnožené, hraničně zvýšené metabol. aktivní uzliny jsou patrně subpleurálně uloženy do vel. 2 cm. V pravé polovině bránice lipom vel. 40 mm. Z oblasti ventrálního lemu levé ledviny vychází nehomogenní, vaskularizovaný tumorózní útvar vel. 41x46x45 mm, SUV max. 4,7. Tumor prorůstá do renálního sinu, vyklenuje se i extrarenálně, dosahuje až k slezinnému hilu. Pakety uzlin v levé polovině retroperitonea nasedají na aortu, obřstávají a dislokují renální cévní svazek, stlačují mírně horní okraj pánevní levé ledviny, dislokují levý ureter, šíří se přes levé bránění krurum do nadbráněního prostoru, dosahují vel. 14x6x4,6 cm, SUV max. 5,7. Na úrovni dolní třetiny retroperitonea jsou mezi aortou a DDfí patrně dvě vaskularizované uzliny vel. 10 mm, vykazující mírně zvýšenou metabol. aktivitu, jde zřejmě o metastázy. Pravá ledvina bez patologických změn.

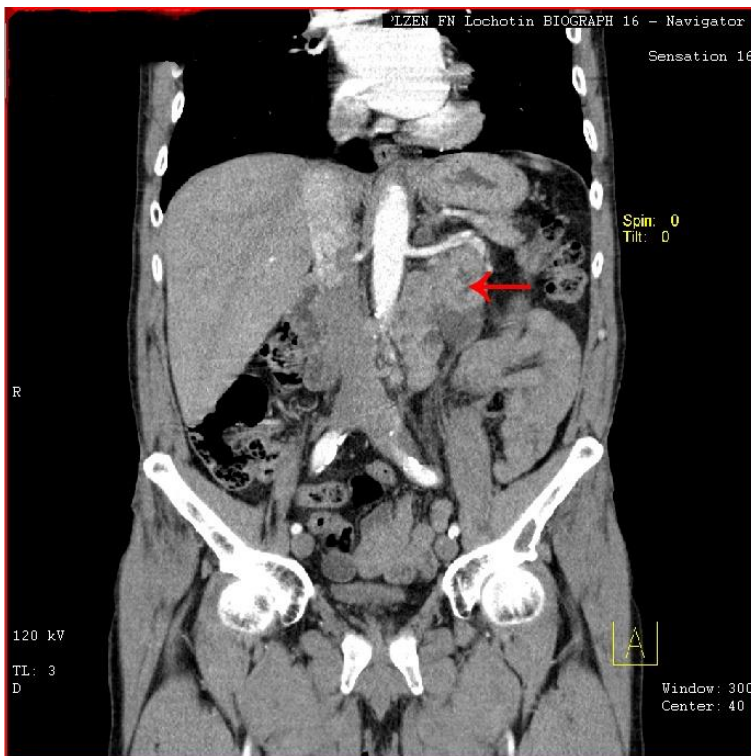
Závěr: renální karcinom vlevo. Vzhledem k densitě, charakteru sycení a diseminaci by mohlo jít o metastázy v uzlinách retroperitonea, mediastina a i v plicních hilech (v této oblasti nelze vyloučit pouze reaktivní lymfadenopatii provázející chronickou bronchitidu)

ZÁVĚR:

Pacientovi byl při kontrole BPH nalezen tumor levé ledviny, který byl doplněn o CT a biopsii paketu uzlin pod CT kontrolou, jež potvrdilo přítomnost tumoru. Poté pacient

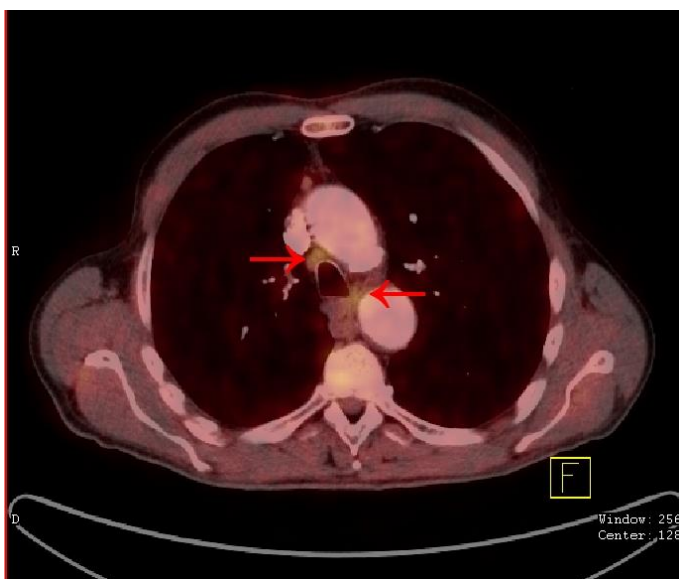
podstoupil vyšetření PET/CT, kde došlo k potvrzení metastazování. Pacientovi byl doporučen léčící režim. Z chirurgického hlediska je pozitivní nález v retroperitoneu, chirurgicky radikálně neřešitelný. Scintigrafie skeletu nebyla provedena z důvodu nepřítomnosti skeletových bolestí. Pacient předán do péče onkologa, kde bude docházet na léčebné ozařování.

Obrázek . 1: CT o karcinom levé ledviny



Zdroj: FN Lochotín

Obrázek . 2: PET/CT o metastázy v plicích



Zdroj: FN Lochotín

6.2 Kazuistika 2

C 679 Tumor močovného měchýře pTaNxM0

Anamnéza muže narozeného roku 1947

- **RA:** Otec zemřel na ictus, matka na leukémii, bratr na ca plic a sestra na ca prsu
- **OA:** st. po plicní lobektomii vlevo pro bronchogenní karcinom, st. po PCI pro stenózu kor. tepen, hypertenze, hypercholesterolemie, DM II. typu na PAD, obezita
- **Abusus:** exkuřák 20 denně o 50 let
- **Alergie:** nejuje
- **PA, SA:** dříve chodce, dříve pracoval v keramičce jako dělník
- **Léky:** ANP 100, Betamed 20, Prestarium neo, Zorem 5, Trovacard 40, Siofor 850

Diagnózy

- C 679 tumor močovného měchýře pTaNxM0G1
- C 349 st. po lobektomii pro bronchogenní karcinom plic
- I 259 ICHS, st. po PTCA a po zavedení stentu
- E 785 hyperlipidémie
- I 10 hypertenze
- E 119 DM II. typu na PAD
- Z 988 st. po ezofagofundoplikaci

Nyní onemocnění

Pacient přichází na transuretrální resekci močovného měchýře. Dle CSK nad pravým ureter. ústím tumor o vel. 4 cm, poté je –t odkládáno pro ca plic, kdy pacientovi byla provedena lobektomie. Horní cesty močové dle VUG a PET/CT bez nálezu. Kultivace moče negativní.

Zobrazovací metody

- **RTG plic** – Plíce se zmnoženou bronchitickou kresbou. V levém středním poli má plicní kresba afilofiskový charakter v rozsahu 15x14 mm. Srdce nezvětšeno. Sklerosa aorty.

- **CT plic a mediastina** o vyšetření s k. l. i. v.. Hrotový emfyzém v obou plicních kídlech. Vpravo ve středním laloku na hranici segment a v dolním laloku v S8 po jedné emfyzémové bule, další drobnější v S6. Vlevo v dolním laloku v S6 17 mm velké ložisko vzhledu primárního plicního tumoru s drobnou centrální rozpadovou dutinou a spikulacemi na periférii, v jeho blízkosti je třeba kolik dalších nodulací.

Ledviny bez podstatných patologických změn. Aorta rozšířena. Při pravém ústí je v močovém měchýři patrný tumor vel. 25x23x19 mm rostoucí endovesikálně.

- **VUG** o obě ledviny vylučují, urotrakt. bilaterálně bez výraznějšího městění, vpravo v náplni hladce konturovaného močového měchýře je lalokový defekt o vel. 26x20 mm. Do spodiny močového měchýře se sumuje skupinka prostatolitů.

Závěr: Tumor močového měchýře bez městění v urotraktu.

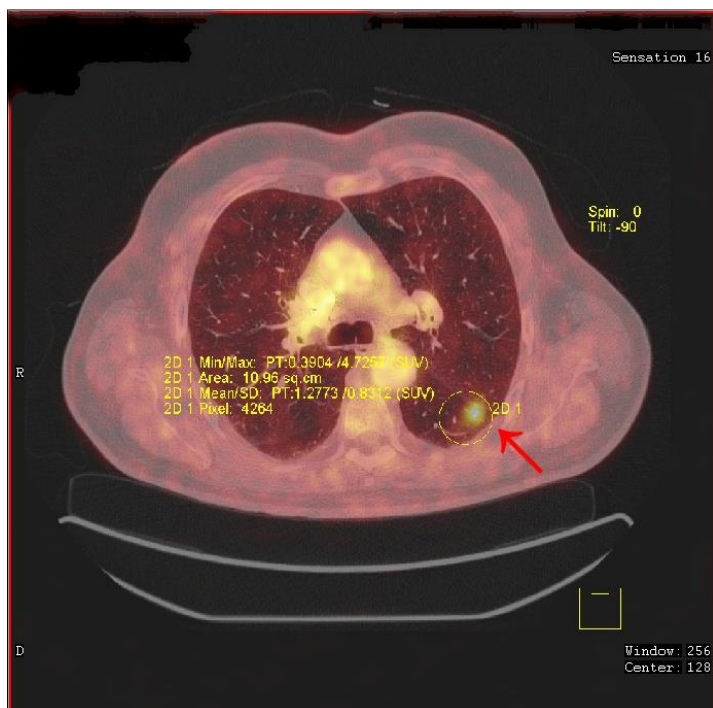
- **PET/CT trupu s 18 FDG s k. l. i. v.** o Do lumina močového měchýře se z pravého dorzálního okraje vykluňuje vaskularizovaný tumorózní útvar vel. 25x25x25 mm. Tumor z něj infiltruje celou pravou stěnu močového měchýře, která je zesílena až na 12 mm. I přes převažování radioaktivní moči v luminu močového měchýře je v oblasti tumorózního útvaru podezření na zvýšenou metabolickou aktivitu. Skelet bez metabolicky aktivních ložisek vzhledu metastáz.

Závěr: Tumorózní útvar v luminu močového měchýře s vysoce pravděpodobným šířením na celou pravou stěnu močového měchýře. Prokázána jednoznačná uzlinová generalizace na levé plicce.

ZÁVĚR:

Pacient přichází na urologické oddělení, kde mu byl zjištěn karcinom močového měchýře. Nejprve mu bylo provedeno RTG vyšetření, CT vyšetření a VUG, které prokázalo karcinom močového měchýře. Nakonec byl poslán na vyšetření PET/CT, kde se prokázala generalizace karcinomu do levé plicce. Pacientovi byla na základě výsledků vyšetření provedena bipolární transuretrální resekce tumoru močového měchýře. Po prodělaném operačním výkonu byl pacient bez obtíží, moči odchází dobře, propuštěn do domácího ošetřování a při emfyzému dále dochází na onkologické oddělení.

Obrázek . 3: PET/CT ó metastáza v levé plíci



Zdroj: FN Lochotín

6.3 Kazuistika 3

C 629 karcinom varlete s generalizací do retroperitoneálních a pánevních uzlin o pT3pN3M0 G3

Anamnéza muže narozeného v roce 1988

- **RA:** rodiče a sestra zdraví
- **OA:** běžná detská onemocnění
- **Abusus:** kouření pľefitostn , 1x denn káva, alkohol pľefitostn
- **Alergie:** neguje
- **Léky:** neguje

Diagnózy

- C 629 st. po radikální orchiektomii vpravo pro –patn diferencovaný embryonální karcinom varlete, s lofiskem v semenném provazci, s generalizací do retroperitoneálních a pánevních uzlin
- Z 511 CHT BEP o st. po zahájení 4. série

Nyn j–í onemocnění

20 o letý pacient po radikální orchiektomii dx. pro –patn dif. embryonální karcinom varlete, s lofiskem v semenném provazci, s generalizací do retroperitoneálních a pánevních uzlin G3 pT3pN3M0 S1 st. IIC. Byl pľijat k IV. sérii kurativní chemoterapie BEP, pro niľ–í clearance podáme s CPT.

Zobrazovací metody

- **Sonografické vy–et ení**

USG b icha o pankreas a slezina normální velikosti a echogenity. Játra normálního vzhledu, bez lofiskových zm n. filu ník kontrahován a nep ehledný, flu ové cesty normální. Ledviny normální velikosti a echogenity. Retroperitoneum bez patologických zm ných uzlin, normální –í e b i–ní aorty. Mo ový m chý s hladkou st nou a írým obsahem.

USG scrota o varle vpravo je mírn edematózní, s patrným dopplerovským signálem. V jeho st ední aľ dolní ásti je n kolik hypoechogenních lofisek, velikost je 25 a 13 mm, nemají z etelný tekutý charakter, nadvarle je mírn edematózní, bez lofisek. Nevelká

hydrokéla vpravo. Semenný provazec vpravo je rozšířen na 16 mm, je v něm patrný dopplerovský signál. Varle vlevo je normální, nadvarle nepřehledné, zejména neztěněné. Tělní uzliny neztěněny.

Závěr: Nález by mohl svědčit pro částečnou torzi varlete, i torzi spontánně upravenou. Signál ve varleti vpravo není podstatně slabší než vlevo, přetrvává rozšíření semenného provazce. V diferenciální dg. expanzivní změny varlete a lokalizovaná orchitis, vzhledem k lofiskovému charakteru postižení varlete vpravo.

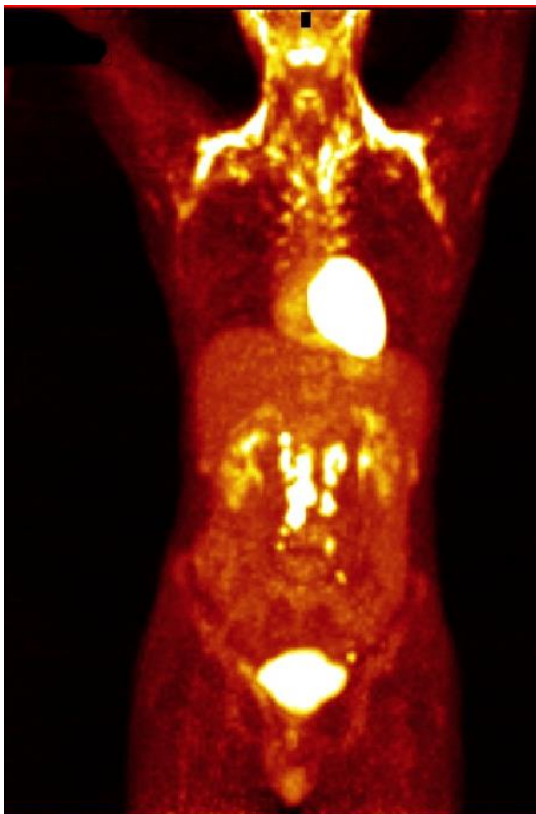
- **PET/CT trupu s 18 FDG s k. l. i. v. o** na krku, v nadklíčcích, mediastinu, plicních hledech a axilách bez zmnožených i FDG akumulujících uzlin. Nález na parenchymových orgánech dutiny břišní, retroperitonea a pánve je bez patologických změn. V retroperitoneu paraaortálně splývající vysoce metabolicky aktivní uzliny, v celkové délce 10,5 cm, pakety zasahují podél cévních svazků částečně do pánve, jedna metabolicky aktivní uzlina v pánvi je i v oblasti pararektálních uzlin vel. 9 mm, v mezenteriu bez zmnožených i FDG akumulujících uzlin.

Závěr: metabolicky aktivní metastázy v uzlinách v retroperitoneu a v pánvi.

ZÁVĚR:

Pacient se pro velké bolesti pravého varlete a bolesti v podbřišku dostavil k lékaři. Ten jej doporučil na USG břicha a skrota, kde byly diagnostikovány expanzivní změny varlete a orchitis. Vzhledem k lofiskovému charakteru postižení pravého varlete, byla provedena radikální orchiektomie vpravo. Po tomto odeslán na vyšetření PET/CT, kde byli prokázány metabolicky aktivní metastázy v uzlinách retroperitonea a pánvi. Pacient byl odeslán k onkologickému lékaři a byla zahájena kurativní chemoterapie cisplatinou. Pacient se cítí v průběhu léčby dobře.

Obrázek . 4: PET ó metastázy v retroperitoneu



Zdroj: FN Lochotín

Obrázek . 5: PET/CT ó metastázy v retroperitoneu



Zdroj: FN Lochotín

6.4 Kazuistika 4

C 539 Invazivní karcinom d lovního ípku T3NxM1

Anamnéza ženy narozená v roce 1949

- **RA:** Matka zdráva, otec neví, p t sourozenc ó zdrávi, d ti také
- **OA:** diagnostikován pokročilý karcinom d lovního ípku T3bN0M0, st. po CHT a RT hydronefroza vlevo
- **Abusus:** kou í 30 cigaret denn
- **Alergie:** neguje
- **PA, SA:** v d chodu, flije s p ítelem

Diagnózy

- N 131 sekundární hydronefróza vlevo, st. po zavedení stentu
- C 539 invazivní karcinom d lovního ípku T3bNXM1
- T 652 Nikotinismus

Nyn j-í onemocn ní

Pacientka se sekundární hydronefrózou vlevo, p i základním onemocn ní ca d lovního ípku, st. po CHT a RT. St. po zavedení stentu vlevo. P íjata k plánované vým n ro ního stentu vlevo.

Zobrazovací metody

- **USG ó d loha** v AVF 59x31 mm, v dutin d lovní homogenní obsah do vý-e 11 mm, áste n tekutý, ost e ohrani ený od myometria, hrdlo d lovní echogen j-í struktury vel. 35x30 mm, endocervikální kanál není patrný, ovaria se spolehliv nezobrazují, sliznice mo ového m chý e hladkých kontur, volná tekutina ani patologická rezistence se v malé pánvi nezobrazuje.
- **RTG plíc ó** bez lofliskových zm n. Lehce zmnofená bronchitická kresba.
- **CT b icha ó** zv t-ená d loha 71x65x55 mm, ost e ohrani ená oproti okolí, st na d lovního cervixu zesílena na 15 mm. Bez známek infiltrace okolních orgán . Obturatorní a parailické uzliny nezv t-ené. Zesílená st na pyloru na 11 mm, ostatní orgány dutiny b i-ní bez z etelných patologických zm n.

- **Bioptické vyšetření** 2 bloky, ve kterých je fragmentovaná probaturní excize celkově makroskopicky nemítelná. V ní se nachází útržky široce invazivního difúzního karcinomu cervixu.

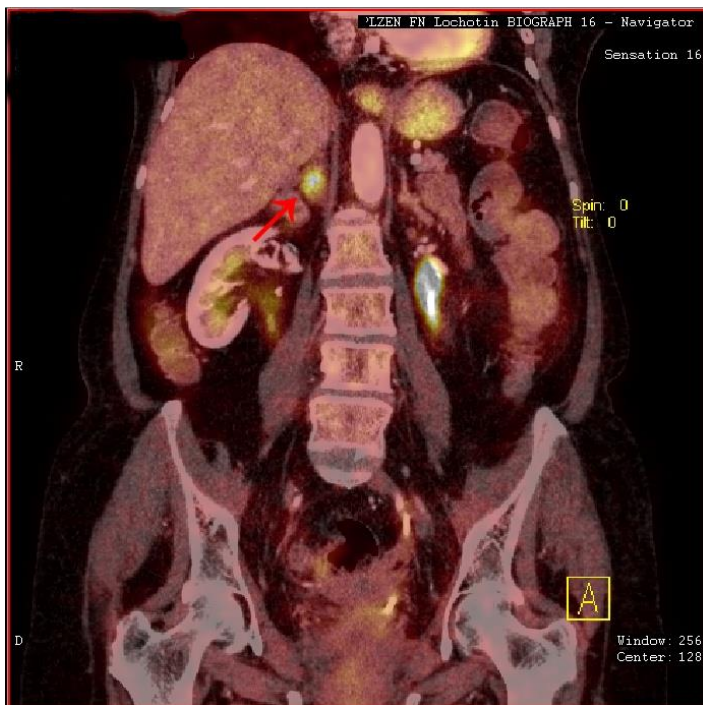
- **PET/CT trupu s 18 FDG sk. I. i. v. 6** v pravém plicním hilu uzlina v regresi metabolické aktivity. Na krku, v axilách, v mediastinu, v levém plicním hilu, v retroperitoneu a v tíslech patrně pouze ojedinelé, nevětvené, FDG neakumulující uzliny. Plíce rozvinuté, v plicním parenchymu je nález bez podstatných změn, jsou nediferencovatelná i drobná nemenná ložiska vel. kolem 3 mm, jiné ložiskové změny v plicích nedif. Přetrvává nehomogenní perfúze plicního parenchymu s okrsky vyšší a nižší denzity. Pleurální dutina i perikard bez výpotku. Metabolicky aktivní ložisko v pravé nadledvině (SUV max. = 9,8), vel. 12x12x25 mm, ostatní nález na parenchymových orgánech dutiny břišní, retroperitonea a pánve bez patologických změn. Do dutého systému levé ledviny zaveden double J katetr, dutý systém ledviny je prostornější, ledvina délky cca 89 mm. Lehká stagnace radioaktivní moči v dutém systému l. ledviny. Močový měchýř s malou náplní, stěna difúzně zesílena. Dutina obvyklé velikosti. Dutina břišní bez volné tekutiny. Zachycený skelet bez metabolicky aktivních ložisek vzhledu metastáz.

Závěr: Metabolicky aktivní ložisko v pravé nadledvině o meta p vodu, v ostatním rozsahu vyšetření jednoznačně FDG akumulující viabilní neoplázií neprokazujeme.

ZÁVĚR:

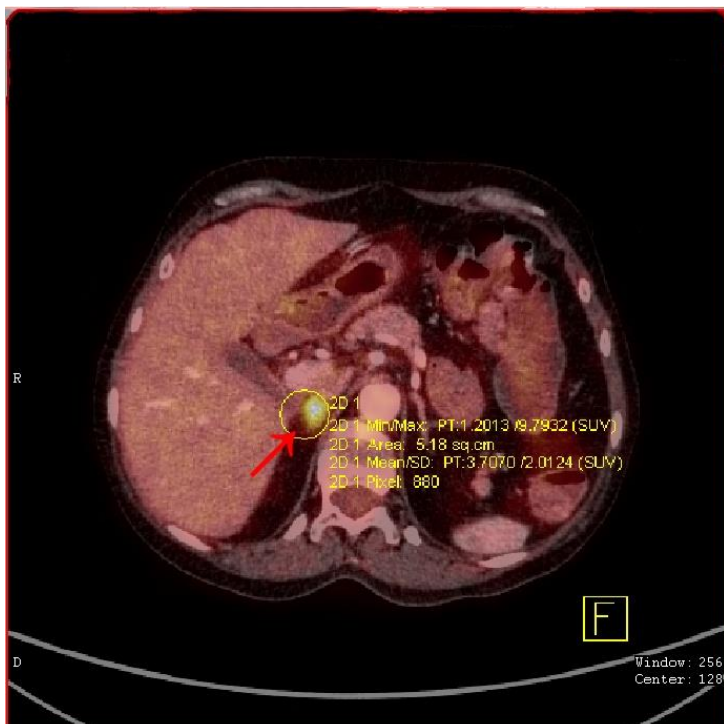
Pacientce byla provedena gynekologická prohlídka a vzhledem k potířím, které měla, byla poslána na vyšetření do nemocnice. Zde byla provedena řada vyšetření. Nejprve USG dolohy, RTG vyšetření a CT vyšetření, kde byla potvrzena přítomnost karcinomu dolního pólu. Dále bylo provedeno bioptické vyšetření. Pacientce byla udělena excize z ektocervixu a následná separativní kyretáž. Po výkonu byla pacientka v dobrém stavu propuštěna do domácí péče. Při kontrole poslána na PET/CT vyšetření, které prokázalo metabolicky aktivní ložisko v pravé nadledvině. Byla onkologicky hlášena a následně začala docházet na léčbu zájm.

Obrázek . 6: PET/CT ó metastáza v pravé nadledvin



Zdroj: FN Lochotín

Obrázek . 7: PET/CT ó metastáza v pravé nadledvin



Zdroj: FN Lochotín

6.5 Kazuistika 5

C 61 karcinom prostaty pT2cNxM0 Gleason skóre 9/4+5/

Anamnéza muže narozeného v roce 1938

- **RA:** neuvedena
- **OA:** st. po zavedení stentgrafu, IM, st. po CABG, ca prostaty ó TUP v anamneze, PSA v norm
- **Abuzus:** kou í 25 cigaret denn
- **Alergie:** neguje
- **Léky:** Dialtrend, Tritace, Protevacs, Nutridrink, Ascorutin
- **PA, SA:** D chodce, d íve pracoval jako d lník

Diagnózy:

- I 10 Arteriální hypertenze
- I 211 st. p. Q IM diafragmatické lokalizace
- Z 924 st. p. Ao ó koron. by-passu 4x
- K 259 st. po v edové chorob ělaludku, porucha lipidového metabolismu. Spondylosa LS páte e
- C 61 st. po TUR prostaty pro obstrukci danou adenokarcinomem T2cNXM0, Gleason skóre 9/4+5/, G3, iPSA 63
- Z 510 stav po radikálním zevním ozá ení pánevní lymfatiky, prostaty, semenných vá k do tot. Ref. D 50 Gy se zvý-ením dávky v oblasti semenných vá k do 60 Gy a v oblasti prostaty do 76 Gy

Nyn j-í onemocn ní

Postupn od jara stále ast j-í mo ení, více v noci, postupné zhor-ení, nakonec se nemohl vymoit v bec a byl zaveden PMK, PSA 63. Byla provedena TUR prostaty, v bioptickém materiálu pr kaz adenoca G3, Gleason 9.

Zobrazovací metody

- **USG prostaty** ó ohrani ená, v periferní zón , hlavn pí horním obvodu s hypoechogenními podez elými drobnými okrsky. Prostata je celkové vel. 52x32x50 mm. Periuretráln jsou naopak hyperechogenní okrsky vaziva. Semenné vá ky normální, okolí bez patologických LU.

- **RTG plic** ó CF úhly volné. Velmi lehce zmnožená bronchitická kresba, bez patologických ložisek v plicním parenchymu. V dolních plicních polích pachypleurální změny v obou plicních hrotech. Srdce, hily a mediastinum nerozšířené. Sklerotické pláty v aortálním oblouku. Cerklávní klíčky po sternotomii. Mírná laterální spondyloza páteře.

- **CT pánve** ó Znamky lymfadenopatie uzlin pánve nediferencujeme. Prostata je cca 43x35x cca 40 mm velká, semenné vajíčky drobné, bez infiltrace. Tiselné uzliny nejsou patologicky zvětšené. Významným vedlejším nálezem je AAA, šířka aorty 70 mm, s nástupnou trombózou, přecházející na AIC bilat., ty jsou šířka asi 23 mm, na AFC jsou samostatná aneurysmata.

Závěr: Bez patrné lymfadenopatie pánevních uzlin a jiných hrubých změn svdčících pro šíření tumoru prostaty. AAA, další aneurysmata jsou i na vtvích aorty.

- **Celotlová scintigrafie skeletu ^{99m}TcMDP** ó na provedených celotlových záznamech skeletu v přední a zadní projekci je patrné drobné ložisko lehce vyřeho metabolického obratu v 1. flebru vpravo ventrální, mírně nehomogenní rozložení RF vykazuje sternum a prakticky celá páteř, lehce zvýšený metabolický obrat je patrný v obou kyelních kloubech. K vývoji signifikantních ložisek patologického metabolického obratu charakteristického pro metastázy.

Závěr: Neprokazujeme diseminaci základního onemocnění do skeletu, změny metabolického obratu v páteři a kyelních kloubech jsou degenerativního původu, nehomogenní rozložení RF ve sternu souvisí se sternotomií v anamnéze, ložisko mírně vyřeho metabolického obratu v 1. flebru vpravo ventrální je nízké intenzity benigního původu, k posouzení vývoje nálezu doplňující kontrolní scintigrafie skeletu s kratším časovým odstupem 6. měsíce.

- **PET/CT trupu s ¹⁸F FDG s k. l. i. v. ó** nehomogenní osteoplastická přestavba v obou polovinách sakry na úrovni S1, nález provází zvýšená osteoblastická aktivita (SUV max. 37,5). Patrná patologická fraktura probíhající přísně sakrem na úrovni S1, fraktura zabíhá oboustranně přes SI kloub směrem vpravo dále linie lomu pokračuje sagitálně, těsně poblíž SI kloubu. Na ostatním zachyceném skeletu patrné pokročilé degenerativní změny s reaktivním zvýšením osteoblastické aktivity. Ve ventrální části obratlového trupu Th 8 a 12 patrná dvě osteolytická ložiska se sklerotickým lemem o celkové vel. 13 a 15 mm, v této oblasti není patrná zvýšená akumulace RF. V plicním parenchymu jsou patrná celkem 4 drobná, lehce neostře ohraničená, nepravidelná ložiska do vel. 5 mm. Dále v S1/2 levé

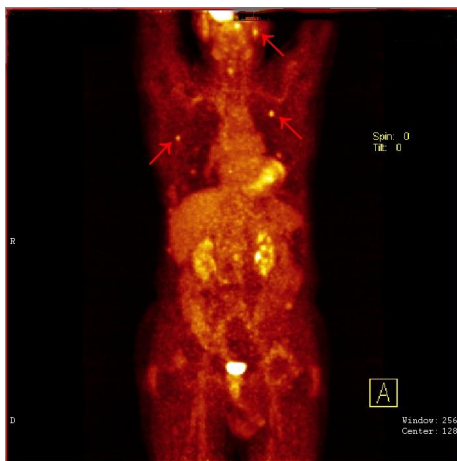
plicí patrné ložisko vel. 7 mm, jedná se nejspíše o metastázu. Adheze v obou plicích k ídlech. Perikard a pleurální dutina bez výpotku. Nadále se zvláště uvolňující aneurysma.

Závěr: Osteoplastická metastáza s patologickou nestabilní frakturou v obou polovinách sakry na úrovni S1 vykazuje zvýšenou osteoblastickou aktivitu, ostatní skelet bez jednoznačného metastatického postižení. Dále patrná celkem 4 drobná ložiska v parenchymu plic, která hodnotí jako nespecifické, doporučuje se kontrolní HRCT, dle vodné podezření na ložisko metastázy v horním laloku levé plicí v S 1/2.

ZÁVĚR:

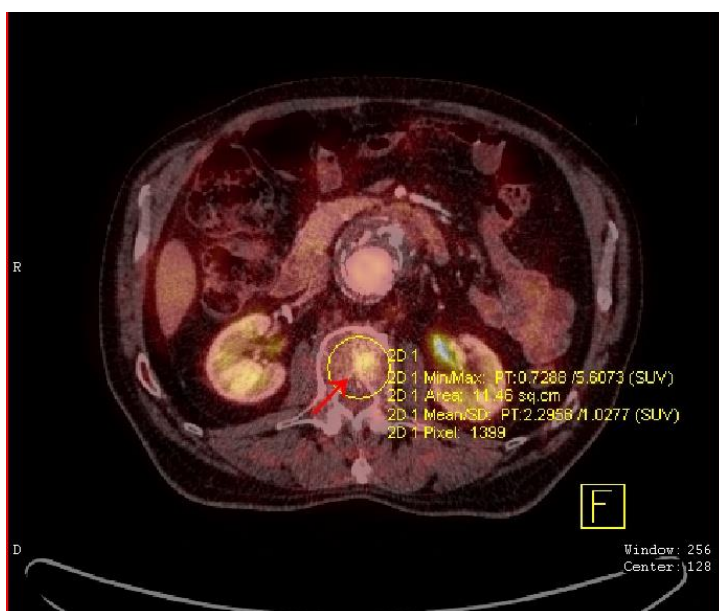
Pacient se z důvodu potíží dostavil na urologické oddělení, kde mu byla provedena série vyšetření, z krevních náborů se zjistilo zvýšené PSA, dále bylo provedeno USG prostaty a biopsie, která potvrdila přítomnost karcinomu prostaty. Nemocný podstoupil TUR a dále byl předán do rukou onkologického lékaře, kde docházel na zevní ozařování. Při kontrole bylo pacientovi provedeno kontrolní CT a PET/CT, kde byla zjištěna dvě metastatická ložiska v obratlových tělech Th 8 a 12, progredující tumorózní ložisko v oblasti levé plicí o metastázu i duplicitní tumor. Během hospitalizace dochází ke zhoršení stavu nemocného (zhoršení ventilacích funkcí o v. s. atelektáza za tumorem, psychická zmatenost), na základě histologického vyšetření byl potvrzen invazivní rostoucí mukoepidermoidní karcinom maxily vlevo. Vzhledem k souhru 2 o 3 maligních onemocnění (generalizovaný adenocarcinom prostaty, susp. tumor plic i meta, adenocarcinom maxily vlevo) se považuje extenze léčby o resuscitační snahy i jiné podpory orgánových funkcí za neúčelné a není indikována. Vzhledem ke zhoršujícímu se stavu pacient na následky onemocnění umírá.

Obrázek . 8: PET o metastázy v levé maxile a plicích



Zdroj: FN Lochotín

Obrázek . 9: Metastázy v obratlových t lech Th8



Zdroj: FN Lochotín

Obrázek . 10: PET/CT ó metastáza v plicích



Zdroj: FN Lochotín

DISKUZE

Díky podkladům ke kazuistikám, které jsem získala ve FN Lochotín v Plzni, zjištění v praktické části bakalářské práce, že vyšetření metodou PET/CT bylo použito u všech zkoumaných pacientů a jako sekundární diagnostická metoda.

V kazuistice . 1 jsou známky tumoru prokázány nejprve CT vyšetřením. Poté se provedlo vyšetření PET/CT, díky kterému bylo zjištěno metastazování v uzlinách retroperitonea, mediastina a v oblasti plicních hil .

V kazuistice . 2 byl jako první metodou zobrazování zvolen rentgen plic, po této metodě následovalo CT vyšetření a vylučovací urografie. Nakonec bylo doporučeno i vyšetření PET/CT, kde jsme chtěli potvrdit podezření tvorby metastáz, které bylo nakonec potvrzeno.

V kazuistice . 3 je vyšetření první volby ultrasonografie břicha a skrota. Nadále byl pacient poslán na PET/CT, kde byly potvrzeny metabolicky aktivní metastázy.

V kazuistice . 4 byla nejprve provedena ultrasonografie, poté následoval rentgen plic, CT vyšetření a nakonec bylo provedeno bioptické vyšetření, které potvrdilo přítomnost karcinomu. Dále pacienta odeslána na vyšetření PET/CT, kde došlo k potvrzení generalizace do pravé nadledviny.

V poslední kazuistice je jako první volba ultrasonografické vyšetření, dále byl proveden rentgen plic, následovalo CT vyšetření, celotělová scintigrafie a nakonec PET/CT k diagnostice metastáz, díky nimuž byla přítomnost potvrzena.

Na základě těchto kazuistik zjištění, že nejpoužívanější zobrazovací metodou u nádorů urogenitálního traktu jsou v praxi ultrasonografie a CT vyšetření. PET/CT se nejčastěji používá jako doplňující, tedy sekundární metoda, která prokazuje přítomnost jak samotného nádoru, tak i přítomnost případných metastáz v těle a to již i ve velmi raném stadiu. Ve skutečnosti lze říci, že se jedná o metodu, která se provádí a

po prokázání onkologického onemocnění urogenitálního traktu, při němž se snažíme o vyloučení i potvrzení rozsahu onemocnění.

ZÁV R

Cílem této bakalářské práce bylo nastudovat odbornou literaturu na nádorová onemocnění urogenitálního traktu a dále zjistit, jaké dostupné vyšetovací metodiky jsou v jejich diagnostice nejprodávající a jakou úlohu, zde hraje PET/CT vyšetření. V praktické části jsem se snažila popsat pomocí uvedených kazuistik probíhající onemocnění a použité zobrazovací metody, které přispívají k diagnostice onemocnění.

Zobrazovací metody mají v diagnostice urogenitálních nádorů velmi důležitou postavení. Ukazuje se, že základní vyšetovací metodou je povětšinou ultrasonografie. Jedná se o metodu, která má vysokou výpovědní hodnotu ohledně stavu vyšetřovaných tkání a která zároveň nevystavuje pacienta radiální zátěži. Druhou nejčastěji využívanou metodou je CT vyšetření, které se využívá k určení stadia karcinomu a ke sledování dynamiky jeho růstu. Nevýhodou je radiální zátěž pacienta. Dále se využívají zobrazovací metody jako je prostý snímek, VUG, scintigrafie a PET/CT. Všechny zmíněné metody jsou nezbytné pro diagnostiku karcinomu v oblasti urogenitálního traktu a v neposlední řadě se využívají i k následnému plánování radioterapie.

Dále jsem praktické části uvedla pět kazuistik, kde jsem se snažila poukázat na využití zobrazovacích metod v praxi. Díky těmto kazuistikám zjistíme, že velmi často využívanou metodou v diagnostice urogenitálních karcinomů je ultrasonografie a CT vyšetření. PET/CT se využívá pouze jako doplňující vyšetření které má význam především při diagnostice a případné generalizaci. Metoda, využívá sfúzození scintigrafických obrazů a obraz výpočetní tomografie umožňuje určit polohu a metabolický obrat zhoubných ložisek. V rámci primární diagnostiky urogenitálního traktu není výhoda PET/CT vyšetření s ^{18}F -FDG tak vysoká v kontextu s radiální zátěží a finanční nároky.

SEZNAM LITERATURY

- 1) IHÁK, Radomír. *Anatomie 2*. 2. Vyd. Praha: Grada Publishing, 2002, 470 s. ISBN 80-247-0143-X.
- 2) Bakalářská práce: zobrazovací postupy v nádorové diagnostice ledvin a močového měchýře. [online]. 2011 [cit. 2013-03-09]. Dostupné z: <https://theses.cz/id/9y8j46/111410-816382256.pdf>
- 3) Google.cz [online]. [cit.2013-03-21]. Dostupné z: https://www.google.com/url?sa=t&rct=j&q=&esrc=s&source=web&cd=4&cad=rja&ved=0CEIQFjAD&url=http%3A%2F%2Fbiologie.amoskadan.cz%2Ffiles%2Fbi%2FPohlavni_soustava_muze.pps&ei=h1kvUffvMfT44QSUkoFo&usg=AFQjCNGgUDIgGdj4mzWOb_KpkI20gBrujQ&sig2=tQ16bk7hOj0NmW5mYhUwka&bvm=bv.43148975,d.bGE
- 4) Google.cz [online]. [cit. 2013-03-21]. Dostupné z: https://www.google.com/url?sa=t&rct=j&q=&esrc=s&source=web&cd=4&cad=rja&ved=0CEsQFjAD&url=http%3A%2F%2Fbiologie.amoskadan.cz%2Ffiles%2Fbi%2FPohlavni_soustava_zeny.pps&ei=yrwwUa7TNOS14gTVloCgCA&usg=AFQjCNEEUtNBYjI1c-GSLFqEM7HVu_ufAw&sig2=Qwq-mnJIA1FtaQZbv9MoZQ&bvm=bv.43148975,d.bGE
- 5) Google.cz [online]. [cit. 2013-03-21]. Dostupné z: https://www.google.com/url?sa=t&rct=j&q=&esrc=s&source=web&cd=2&cad=rja&ved=0CDYQFjAB&url=http%3A%2F%2Fwww.szsb.cz%2F3%2520Stavba%2520a%2520funkce%2520pohlavniho%2520systemu%2520zeny.doc&ei=dL0wUZDfIsfKsgb_5ICgDQ&usg=AFQjCNEwwKUj4JH_wTAJz-B9-eIyqev2dg&sig2=XBznJKo73hu4puvQAZSkkA&bvm=bv.43148975,d.bGE
- 6) FIALA, Pavel, VALENTA, Jiří, EBERLOVÁ, Jana. *Anatomie pro bakalářské studium zdravotnických oborů*. Praha: Karolinum, 2008, 173 s. Učební texty Univerzity Karlovy v Praze. ISBN 978-802-4614-915.
- 7) ADAM, Zdeněk, VORLÍČEK, Jiří. *Speciální onkologie*. 1. Vyd. Brno: Masarykova univerzita, 2002, 542 s. ISBN 80-210-2826-2
- 8) KLENER, Pavel a VORLÍČEK, Jiří. *Klinická onkologie*. 1. Vyd. Praha: Galén, 2002, xxxvii, 686 s. ISBN 80-246-0468-X.

- 9) Linkos.cz [online]. 2011 [cit. 2013-03-09]. Dostupné z: <http://www.linkos.cz/po-kongresu/databaze-tuzemskych-onkologickych-konferencnich-abstrakt/abstrakta/cislo/2544/>
- 10) IZOTOPCENTRUM s.r.o. [online]. 2011 [cit. 2013-03-09]. Dostupné z: http://www.izotopcentrum.sk/pet_ct/
- 11) RadiologyInfo.org: Positron Emission Tomography, [online]. 2011 [cit. 2013-03-09]. Dostupné z: <http://www.radiologyinfo.org/en/info.cfm?pg=pet>
- 12) Radiologieplzen.eu: PET/CT, [online]. 2011 [cit. 2013-03-09]. Dostupné z: <http://radiologieplzen.eu/pruvodce-petct/> <http://radiologieplzen.eu/pruvodce-petct/>
- 13) Wikipedie: Rozmnořovací soustava, [online]. 2011 [cit. 2013-03-09]. Dostupné z: http://cs.wikipedia.org/wiki/Rozmnořovací_soustava
- 14) ADAM, Zdeněk, VORLÍ EK, Jiří, VANÍ EK, Jiří. *Diagnostické a léčebné postupy u maligních chorob*. 2. Aktualiz. A dopl. Vyd. Praha: Grada, 2004, 684 s. ISBN 80-247-0896-5
- 15) TEPLAN, Vladimír, VORLÍ EK, Jiří a VANÍ EK, Jiří. *Praktická nefrologie*. 2., zcela přeprac. A dopl. Vyd. Praha: Grada, 2006, xxviii, 496 s., 12 s. barev. Obr. Příl. ISBN 80-247-1122-2.
- 16) TĚLAMPÁ, Pavel, PETERA, Jiří a VANÍ EK, Jiří. *Radiační onkologie*. 2., zcela přeprac. A dopl. Vyd. Praha: Karolinum, c2007, xviii, 457 s. ISBN 978-802-4614-434
- 17) Google.cz [online]. 2011 [cit. 2013-03-09]. Dostupné z: <https://www.google.com/url?sa=t&rct=j&q=&esrc=s&source=web&cd=2&cad=rja&ved=0CDkQFjAB&url=http%3A%2F%2Fold.medik.cz%2Fmedik%2Fonkologie%2Ftestes.ppt&ei=CqU4UaODDcjysgbCm4HoAw&usg=AFQjCNHEkumPSU3qkygPBR2EzreVuLdy8Q&sig2=2nZ-TA8zzMoCH3Gq2xKplQ&bvm=bv.43287494,d.Yms>
- 18) Klinika nukleární medicíny Lékařské fakulty UP [online]. 2011 [cit. 2013-03-09]. Dostupné z: <http://www.lf.upol.cz/menu/struktura-lf/kliniky/klinika-nuklearni-mediciny/pedagogicka-cinnost/hybridni-pozitronova-a-vypocetni-tomografie-petct/>
- 19) Doktorská disertační práce: Možnosti využití PET/CT v diagnostice a stagingu tumorů pankreatu. *Doktorská disertační práce* [online]. 2011 [cit. 2013-03-09]. Dostupné z: http://theses.cz/id/9qtmlw/disertace_kysucan.pdf
- 20) VOTRUBOVÁ, Jana, PETERA, Jiří a VANÍ EK, Jiří. *Klinické PET a PET/CT*. 1. Vyd. Praha: Galén, 2009, 207 s. ISBN 978-807-2626-199

- 21) Linkos.cz: PET a PET/CT v zobrazování urologických malignit. [online]. [cit. 2013-03-22]. Dostupné z: <http://www.linkos.cz/po-kongresu/databaze-tuzemskych-onkologickych-konferencnich-abstrakt/abstrakta/cislo/2544/>
- 22) Actualgyn.com: Vyufití moderních zobrazovacích metod v diagnostice a stagingu zhoubných nádorů reprodukčních orgánů. [online]. [cit. 2013-03-22]. Dostupné z: http://www.actualgyn.com/pdf/en_2009_3.pdf
- 23) P. OEHR, P. H. *PET and PET-CT in oncology*. Berlin: Springer, 2004. ISBN 3-540-3125-X.

SEZNAM ZKRATEK

Adenoca adenokarcinom
ANP anopyrin
AVF anteverzeflexe
BEP bleomycin, etopozid, platina
BPH benigní prostatická hyperplazie
ca karcinom
CPT karnitinpalmitoyltransferáza
CRP c-reaktivní protein
CSK cytoskopie
CT výpočetní tomografie číslo
DDf dolní dutá žíla
DM diabetes mellitus
Dgdiagnóza
dxdexter (vpravo)
FDG fluorodeoxyglukoza
FNfakultní nemocnice
FW sedimentace erytrocyt
HMC horní cesty močové
CHTchemoterapie
ICHDK ischemická choroba dolních končetin
ICHS ischemická choroba srdeční
i.v.intravenózní
k.l.kontrastní látka
LDK levá dolní končetina
LHD laktátdehydrogenáza
LUlymfatické uzliny
MRmagnetická rezonance
OAosobní anamnéza
PApracovní anamnéza
PADperorální antidiabetika
PCIperkutánní koronární intervence

PMKpermanentní močový katétr
PTCA perkutánní koronární angioplastika
RFradiofarmakum
RT radioterapie
RTG rentgenové vyšetření
SA sociální anamnéza
st.stav
SUV standardized uptake value
tj......to je
TNM tumor, uzliny, metastázy
TU tumor
tzn......to znamená
USG ultrasonografie
v......vena
vel......velikost
viz......vidět
vy-.....vyšetření
VUG vylučovací urografie
WHOWorld Health Organization

SEZNAM P ÍLOH

P íloha . 1 ó Seznam graf

P íloha . 2 ó Seznam tabulek

P íloha . 3 ó Seznam obrázky

P íloha . 4 ó Grafy

P íloha . 5 ó Tabulky

P íloha . 6 ó Obrázky

P ÍLOHA . 1 ó SEZNAM GRAF

- Graf . 1: Incidence a mortalita u ca ledvin**
- Graf . 2: V ková struktura populace pacient**
- Graf . 3: Zastoupení klinických stádií v procentech**
- Graf . 4: Incidence a mortalita u ca mo ového m chý e**
- Graf . 5: V ková struktura populace pacient**
- Graf . 6: Zastoupení klinických stádií v procentech**
- Graf . 7: Incidence a mortalita u ca prostaty**
- Graf . 8: V ková struktura populace pacient**
- Graf . 9: Zastoupení klinických stádií v procentech**
- Graf . 10: Incidence a mortalita u testikulárních nádor**
- Graf . 11: V ková struktura populace pacient**
- Graf . 12: Zastoupení klinických stádií v procentech**
- Graf . 13: Incidence a mortalita u ca d lovního t la**
- Graf . 14: V ková struktura populace pacient**
- Graf . 15: Zastoupení klinických stádií v procentech**
- Graf . 16: Incidence a mortalita u ca d lovního hrdla**
- Graf . 17: V ková struktura populace pacient**
- Graf . 18: Zastoupení klinických stádií v procentech**

P ÍLOHA . 2 ó SEZNAM TABULEK

Tabulka . 1 ó Klasifikace nádor ledvin

Tabulka . 2 ó TNM klasifikace ca ledviny

Tabulka . 3 ó Klinická stádia ca ledviny

Tabulka . 4 ó TNM klasifikace ca mo ového m chý e

Tabulka . 5 ó Klinická stádia ca mo ového m chý e

Tabulka . 6 ó P ehled maligních nádor prostaty

Tabulka . 7 ó Histologické typy ca prostaty a histopatologický grading

Tabulka . 8 ó TNM klasifikace ca prostaty

Tabulka . 9 ó Klinická stadia ca prostaty

Tabulka . 10 ó Histopatologie tumor varlat

Tabulka . 11 ó TNM klasifikace ca varlat dle UICC 1997

Tabulka . 12 ó Klinická stádia ca varlat

Tabulka . 13 ó Histologické typy ca d lohy

Tabulka . 14 ó TNM klasifikace ca d lofního t la

Tabulka . 15 ó Klinické d lení stádií endometria dle FIGO

Tabulka . 16 - Histologické typy ca d lofního ípku

Tabulka . 17 ó TNM klasifikace ca d lofního ípku

P ÍLOHA . 3 ó SEZNAM OBRÁZK

Obrázek . 1: CT ó karcinom levé ledviny

Obrázek . 2: PET/CT ó metastázy v plicích

Obrázek . 3: PET/CT ó metastáza v levé plíci

Obrázek . 4: PET ó metastázy v retroperitoneu

Obrázek . 5: PET/CT ó metastázy v retroperitoneu

Obrázek . 6: PET/CT ó metastáza v pravé nadledvin

Obrázek . 7: PET/CT ó metastáza v pravé nadledvin

Obrázek . 8: PET ó metastázy v levé maxile a plicích

Obrázek . 9: Metastázy v obratlových t lech Th8

Obrázek . 10: PET/CT ó metastáza v plicích

Obrázek . 11: P ehled orgán mo ového ústrojí

Obrázek . 12: P ehled orgán mužského pohlavního ústrojí

Obrázek . 13: Orgány ženského pohlavního ústrojí

Obrázek . 14: Karcinom ledvin

Obrázek . 15: Povrchový papilární nádor na vnit ní stran st ny mo ového m chý e

Obrázek . 16: Karcinom prostaty

Obrázek . 17: ez varletem vypln ným zhoubným nádorem

Obrázek . 18: Spinocelulární karcinom d lovního hrdla

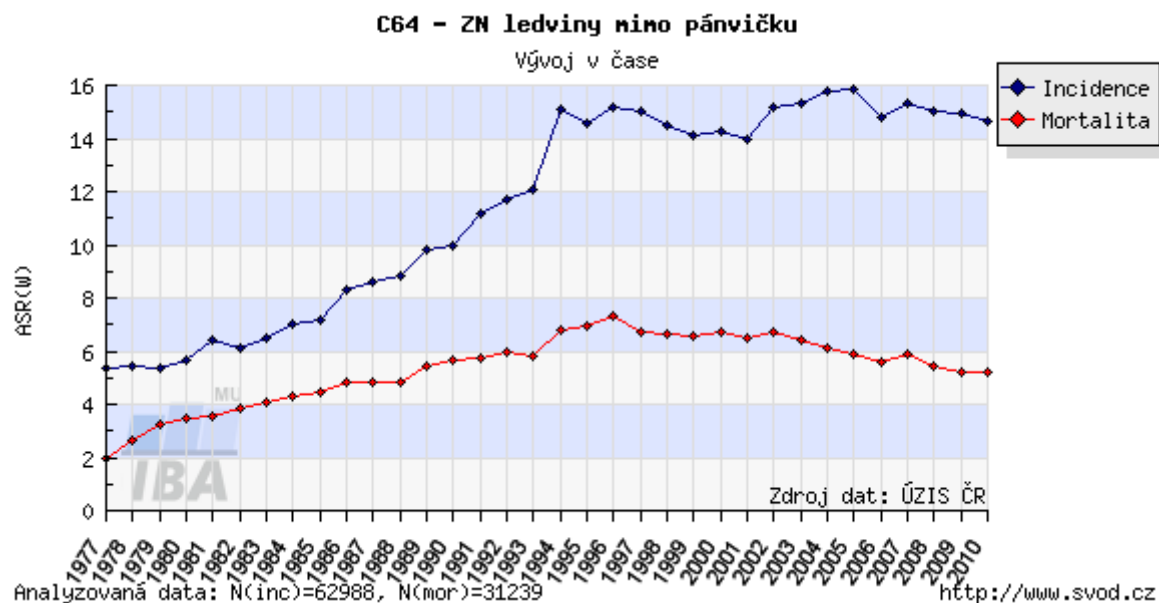
Obrázek . 19: Karcinom d lovního ípku

Obrázek . 20: PET/CT

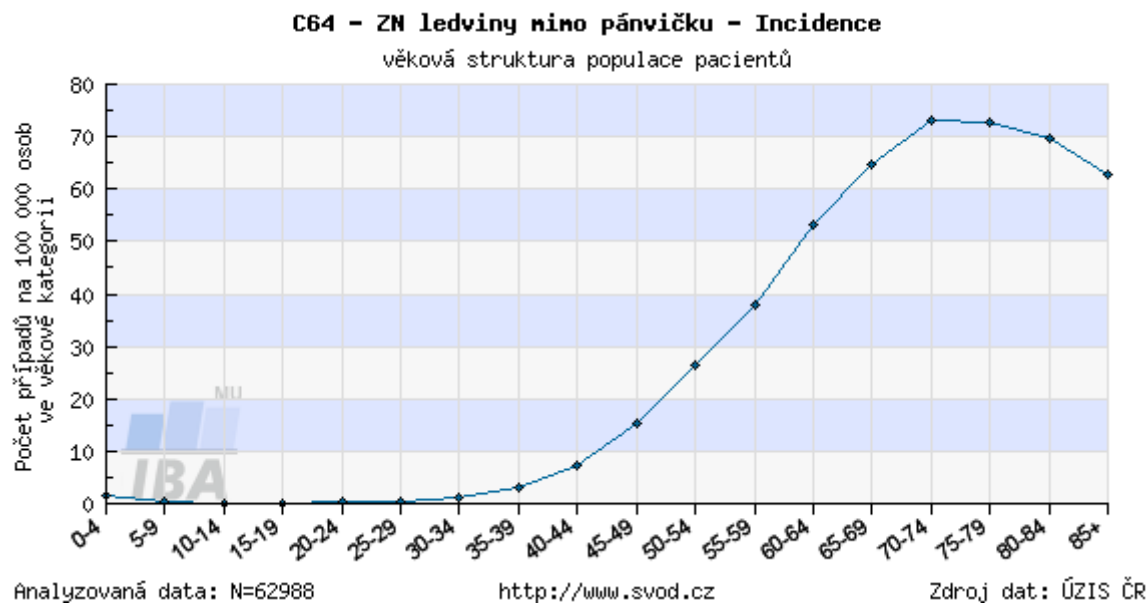
Obrázek . 21: PET/CT akvizice, rekonstrukce

P ÍLOHA .4 ó GRAFY

Graf . 1: Incidence a mortalita u ca ledvin

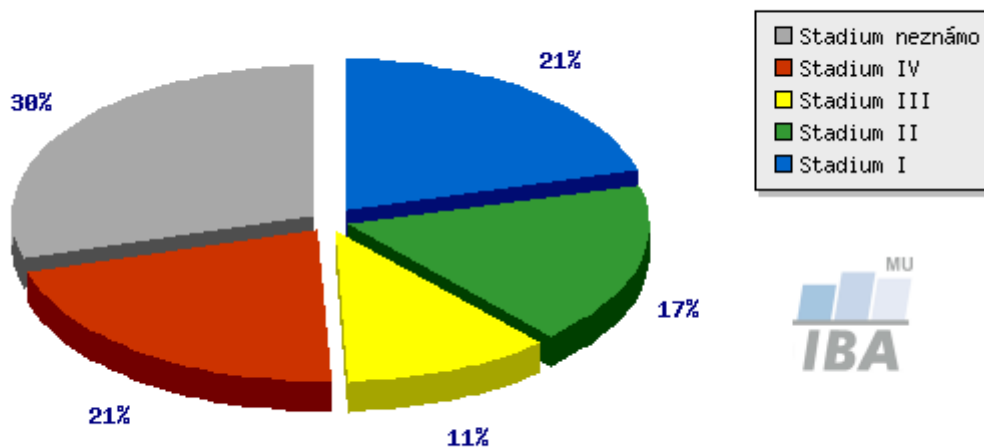


Graf . 2: V ková struktura populace pacient



Graf . 3: Zastoupení klinických stádií v procentech

C64 - ZN ledviny mimo pánvičku
zastoupení klinických stadií v procentech



Analyzovaná data: N=62988

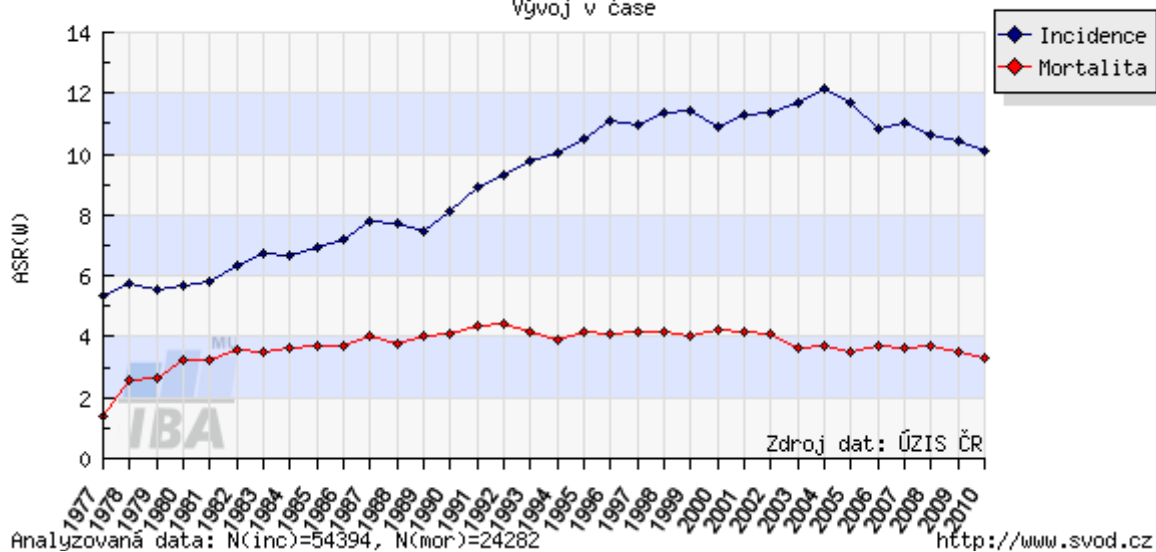
Zdroj dat: ÚZIS ČR

<http://www.svod.cz>

Graf . 4: Incidence a mortalita u ca močového měchýře

C67 - ZN močového měchýře - vesicae...

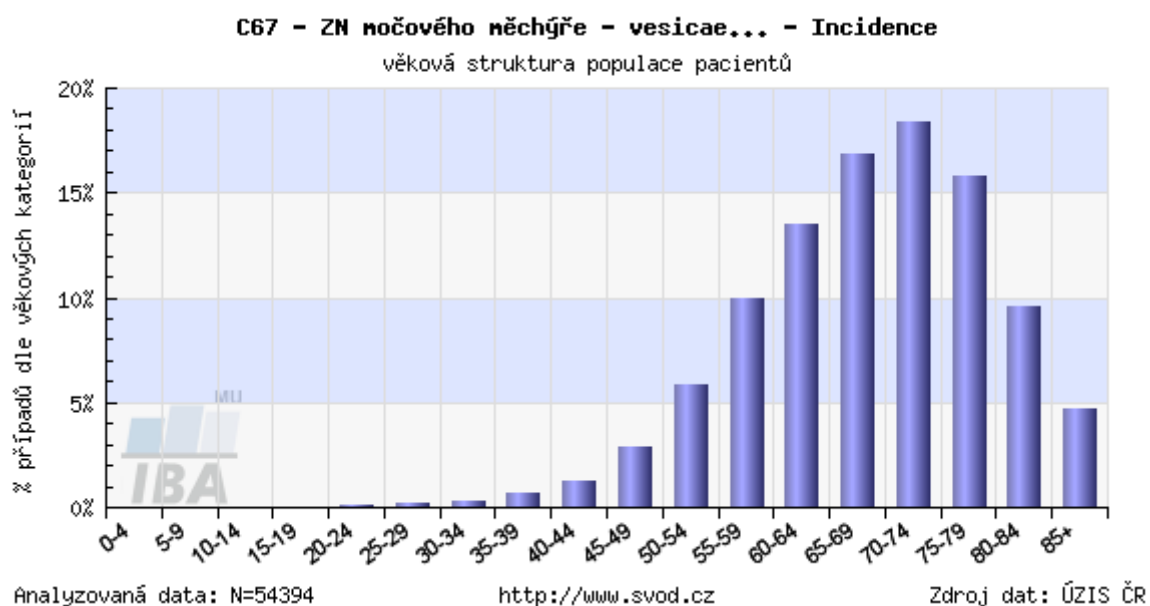
Vývoj v čase



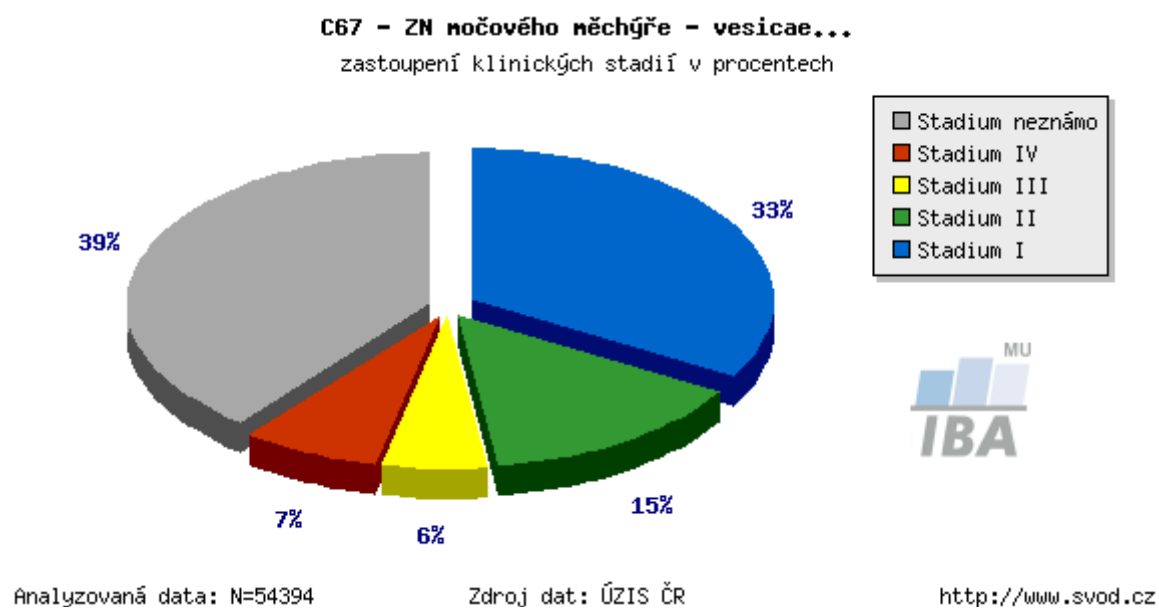
Analyzovaná data: N(inc)=54394, N(mor)=24282

<http://www.svod.cz>

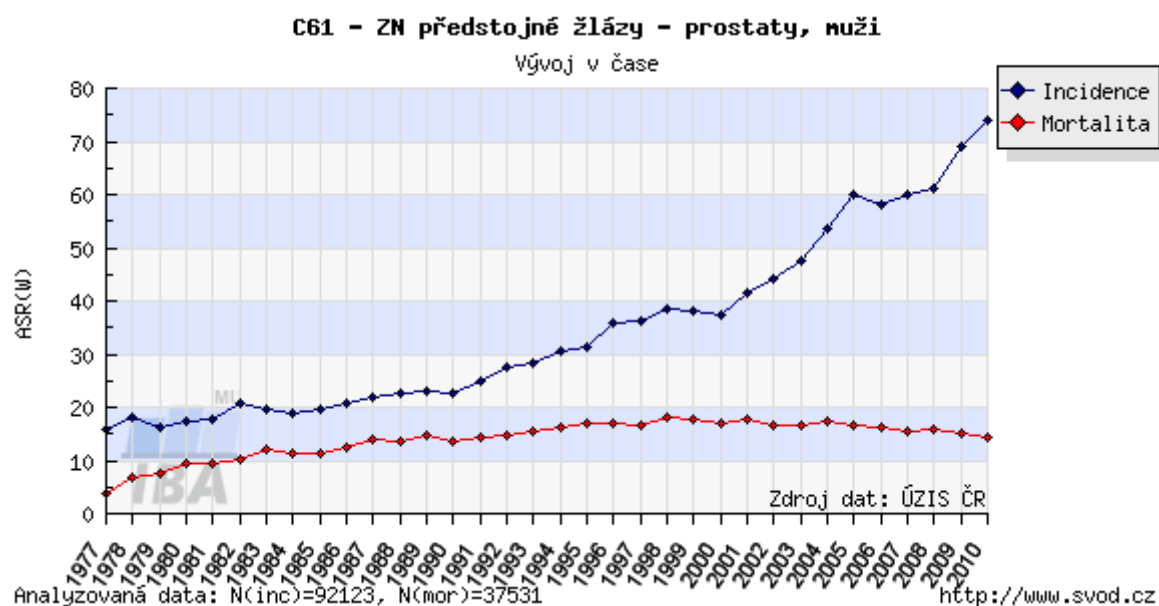
Graf . 5: V ková struktura populace pacient



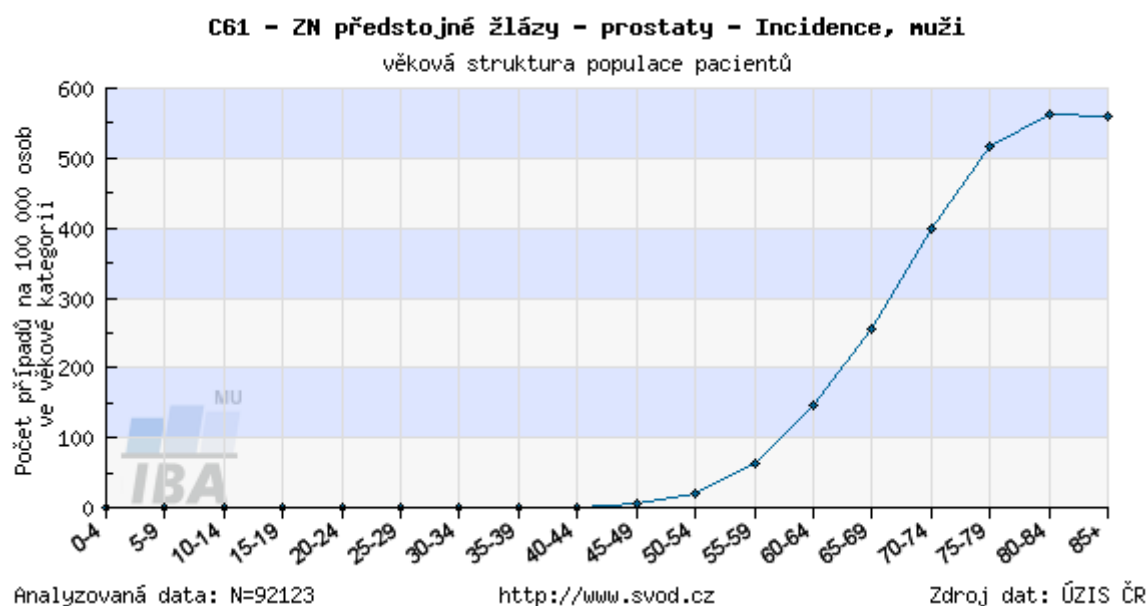
Graf . 6: Zastoupení klinických stádií v procentech



Graf . 7: Incidence a mortalita u ca prostaty



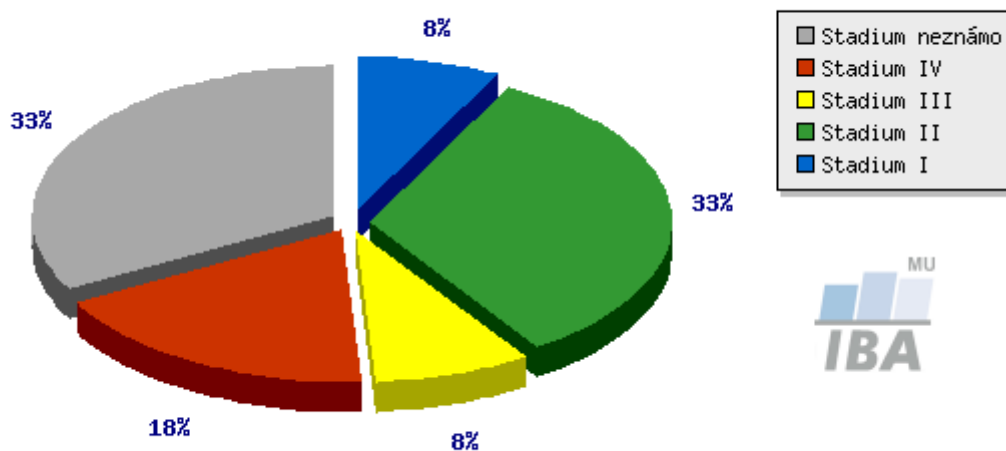
Graf . 8: Vková struktura populace pacient



Graf . 9: Zastoupení klinických stádií v procentech

C61 - ZN předstojné žlázy - prostaty, muži

zastoupení klinických stádií v procentech



Analyzovaná data: N=92123

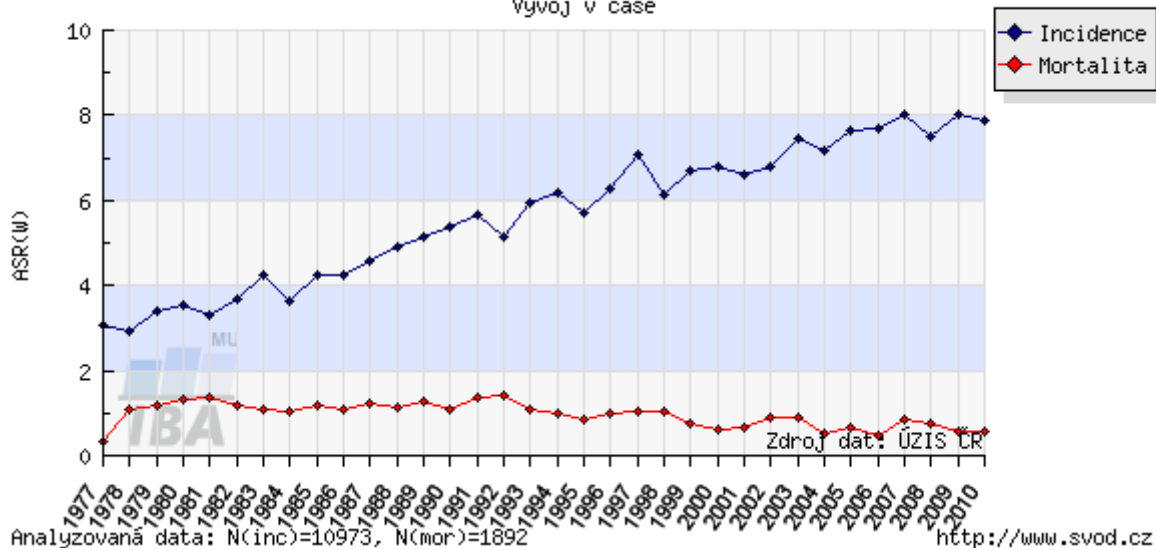
Zdroj dat: ÚZIS ČR

<http://www.svod.cz>

Graf . 10: Incidence a mortalita u testikulárních nádor

C62 - ZN varlete, muži

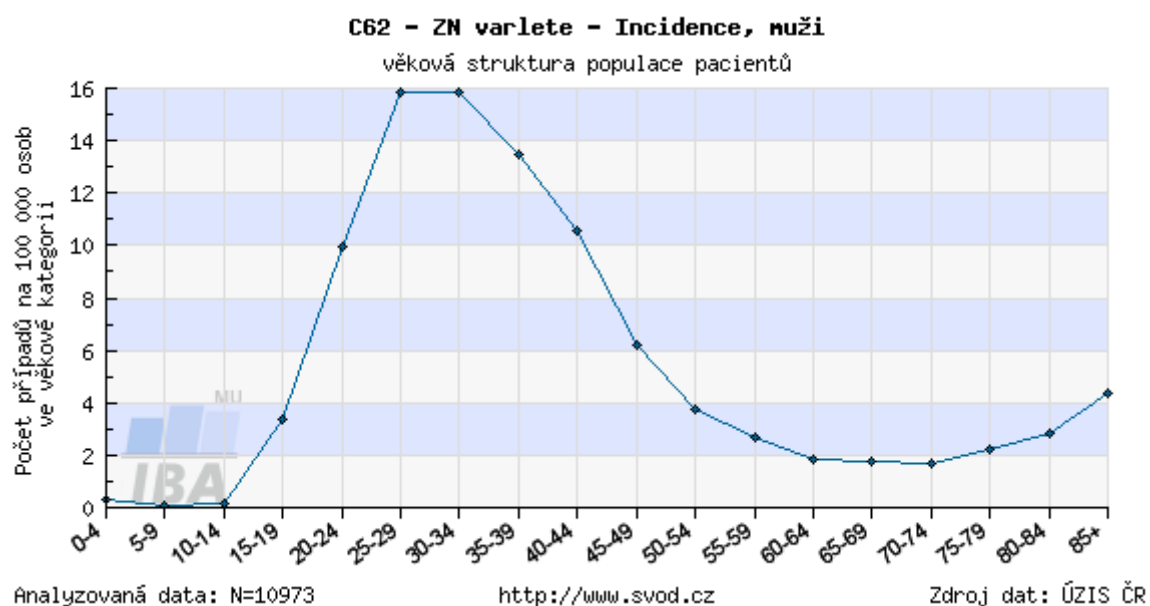
Vývoj v čase



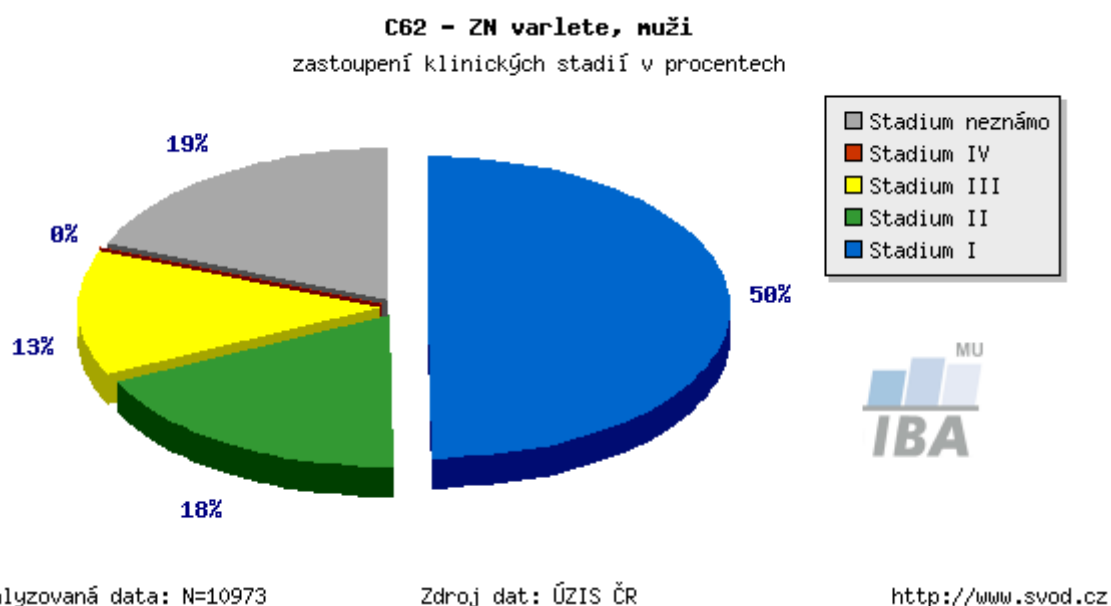
Analyzovaná data: N(inc)=10973, N(mor)=1892

<http://www.svod.cz>

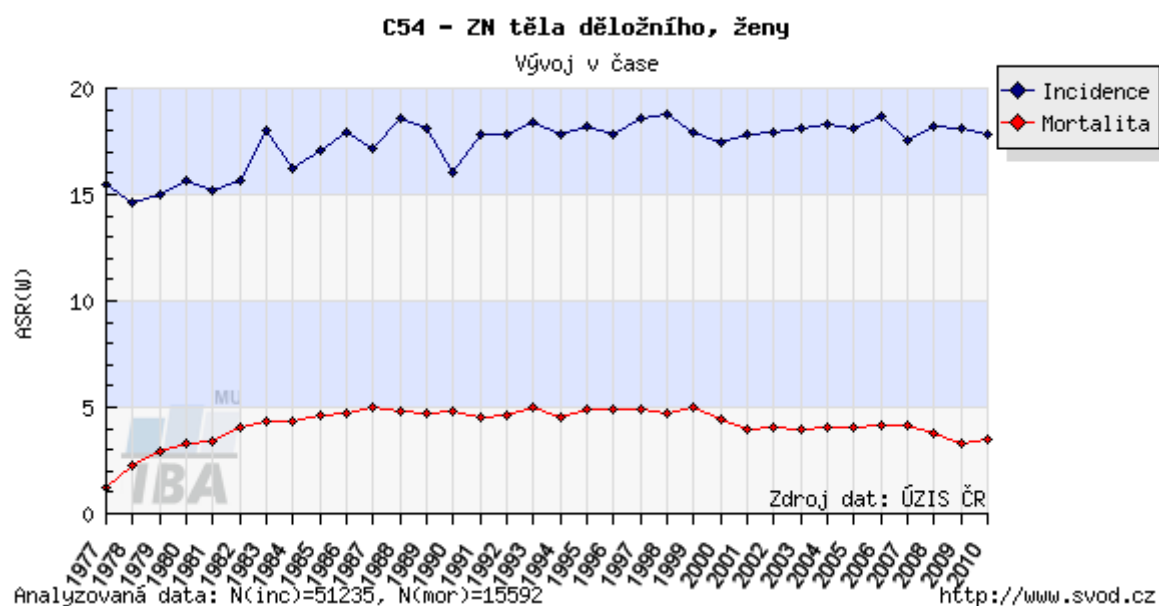
Graf . 11: V ková struktura populace pacient



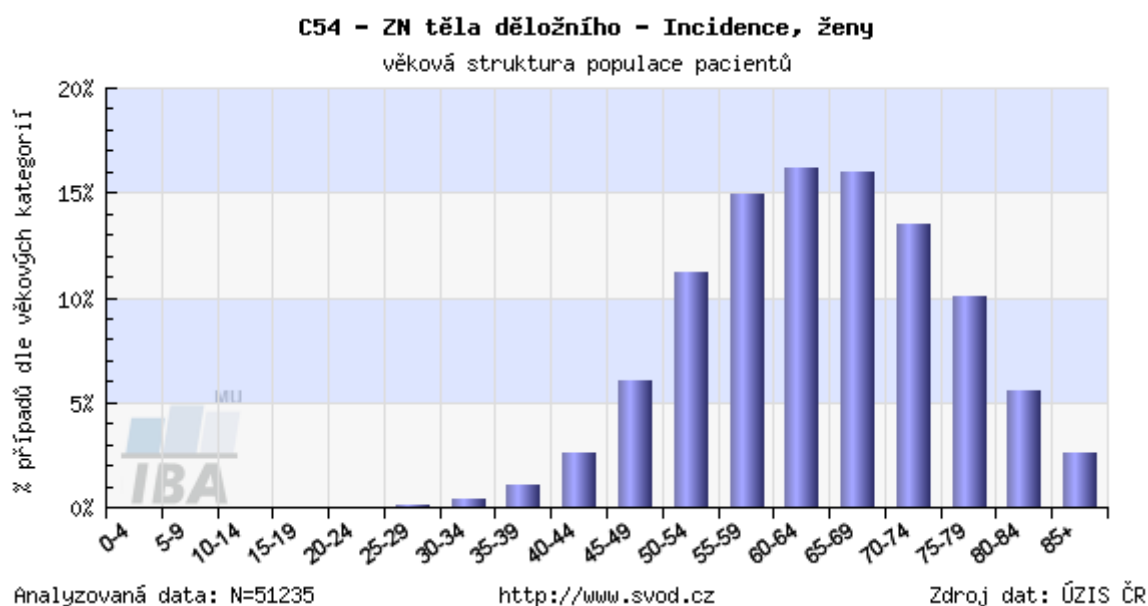
Graf . 12: Zastoupení klinických stádií v procentech



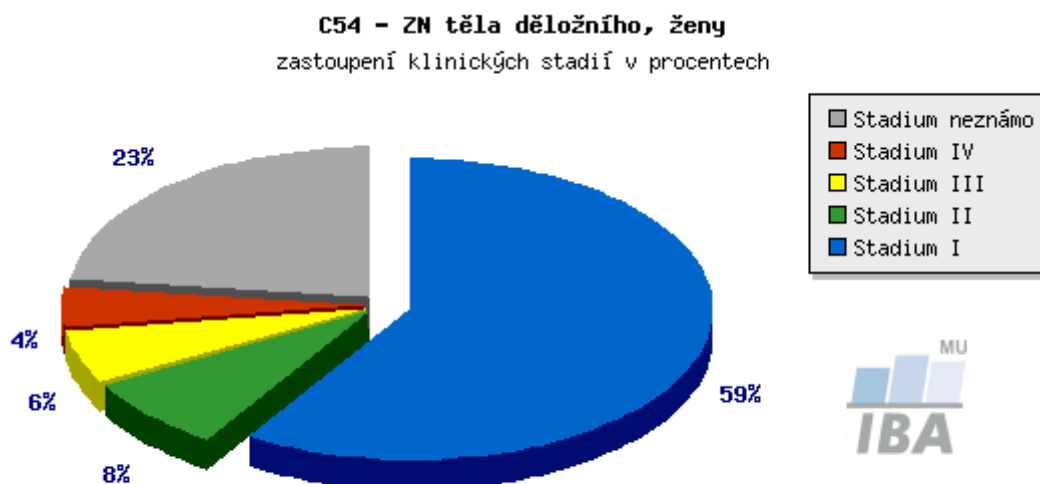
Graf .13: Incidence a mortalita u ca d ložního t la



Graf .14: V ková struktura populace pacient



Graf . 15: Zastoupení klinických stádií v procentech

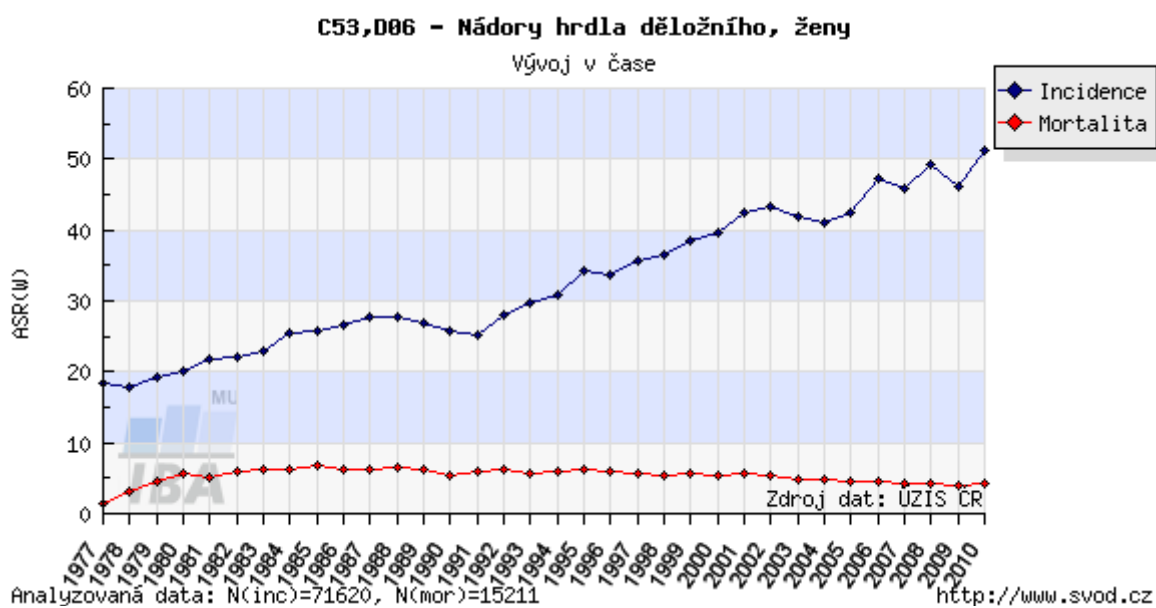


Analyzovaná data: N=51235

Zdroj dat: ÚZIS ČR

<http://www.svod.cz>

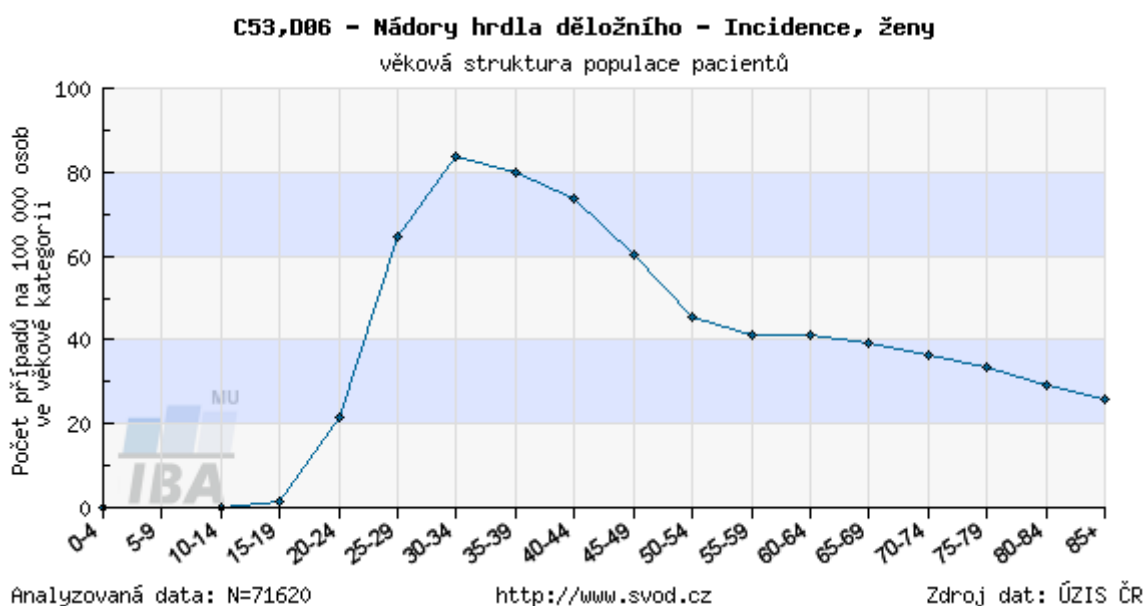
Graf . 16: Incidence a mortalita u ca d ložního hrdla



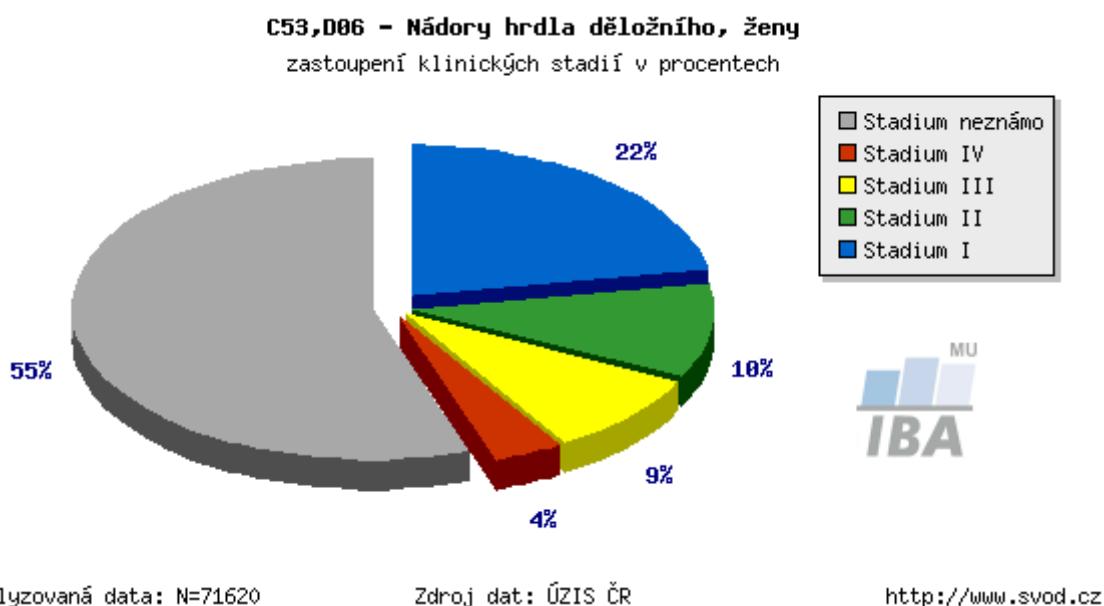
Analyzovaná data: N(inc)=71620, N(mor)=15211

<http://www.svod.cz>

Graf .17: V ková struktura populace pacient



Graf .18: Zastoupení klinických stádií v procentech



P ÍLOHA .5 ó TABULKY

Tabulka . 2 ó TNM klasifikace ca ledviny

T ó primární nádor	
TX	Primární nádor nelze posoudit.
T0	Není známek primárního nádoru.
T1	Nádor ohrani ený na jednu ledvinu do 7 cm v pr m ru.
T2	Nádor ohrani ený na ledvinu v t-í nefl 7 cm v pr m ru.
T3	Nádor pror stá do velkých cév nebo pror stá do nadledvin í perirenální tukové tkán , ale nep esahuje Gerotovu fascii.
T3a	Nádor infiltruje nadledvinku nebo perirenální tká , ale nep esahuje Gerotovu fascii.
T3b	Nádor s makroskopickým pror stáním do renální fíly nebo do dolní duté fíly, ale pod úrove bránice.
T3c	Tumor s makroskopickým í ením do dolní duté fíly nad úrove bránice.
T4	Nádor pror stá za Gerotovu fascii.
N ó regionální lymfatické uzliny	
NX	Regionální uzliny nelze hodnotit.
N0	Bez známek p ítomnosti regionálních metastáz.
N1	Metastáza v jedné regionální lymfatické uzlin .
N2	Metastázy ve více regionálních lymfatických uzlinách.
M ó metastatické postífení	
MX	P ítomnost vzdálených metastáz nelze posoudit.
M0	Vzdálené metastázy nebyly prokázány.
M1	Prokázané vzdálené metastázy.

Zdroj: ADAM, Zden k, Ji í VORLÍ EK a Ji í VANÍ EK. *Diagnostické a lé ebné postupy u maligních chorob.*

Tabulka . 3 ó Klinická stádia ca ledviny

I	T1	N0	M0
II	T2	N0	M0
III	T3	N0	M0
	T1 ó 3	N1	M0
IV	T4	N0,1	M0
	TX ó 4	NX ó 2	M1

Zdroj: ADAM, Zden k, Ji í VORLÍ EK a Ji í VANÍ EK. *Diagnostické a lé ebné postupy u maligních chorob.*

Tabulka . 4 ó TNM klasifikace ca mo ového m chý e

T ó primární tumor	
TX	Primární nádor nelze posoudit.
T0	Bez známek primárního nádoru.
Ta	Neinvazivní papilární karcinom.
TIS	Karcinom in situ.
T1	Nádor postihuje subepiteliální pojivovou tká .
T2	Nádor postihuje svalovou vrstvu:
T2a	vnit ní polovinu
T2b	zevní polovinu.
T3	Nádor postihuje perivezikální tká :
T3a	mikroskopicky
T3b	makroskopicky.
T4	Infiltrace pánevních orgán , st ny pánve a st ny b icha.
T4a	Nádor postihuje prostatu, uterus nebo vaginu.
T4b	Nádor postihuje st nu pánve nebo b icha.
N ó regionální lymfatické uzliny	
NX	Uzliny nelze posoudit.
N0	Bez známek postifení lymfatických uzlin.
N1	Metastáza v jedné uzlin men-í neř 2 cm.
N2	Metastáza v jedné uzlin v t-í neř 2 cm, ale men-í neř 5 cm nebo mnoho etné postifení uzlin, z nichř řádná není v t-í neř 5 cm.
N3	Metastázy v lymfatické uzlin v t-í neř 5 cm.
M ó vzdálené metastázy	
MX	P ítomnost vzdálených metastáz nelze ur ít.
M0	Bez známek vzdálených metastáz.
M1	Prokázané vzdálené metastázy.

Zdroj: KLENER, Pavel a Ji í VORLÍ EK. *Klinická onkologie*

Tabulka . 5 ó Klinická stádia ca mo ového m chý e

Stadium 0a	Ta	N0	M0
Stadium 0is	Tis	N0	M0
Stadium I	T1	N0	M0
Stadium II	T2a	N0	M0
	T2b	N0	M0
Stadium III	T3a	N0	M0
	T3b	N0	M0
	T4a	N0	M0
Stadium IV	T4b	N0	M0
	kafdé T	N1	M0
	kafdé T	N2	M0
	kafdé T	N3	M0
	kafdé T	kafdé N	M1

Zdroj: KLENER, Pavel a Ji í VORLÍ EK. *Klinická onkologie*

Tabulka . 8 ó TNM klasifikace ca prostaty

T ó primární nádor	
TX	Primární tumor nem fle být stanoven.
T1	Klinicky inaparentní tumor (nepalpovatelný, nezobrazitelný vy-).
T1a	Incidentální tumor histologicky p ítomný v mén nefl 5 % resekované tkán .
T1b	Incidentální tumor histologicky p ítomný ve více nefl 5 % resekované tkán .
T1c	Tumor zji-t ný jehlovou biopsií (p i zvý-eném PSA).
T2	Tumor ohrani ený na flázu.
T2a	Tumor zaujímá jeden lalok.
T2b	Tumor zaujímá oba laloky.
	Invaze do apexu prostaty nebo do prostatického pouzdra je klasifikován T2, ne T3.
T3	Tumor penetruje p es prostatické pouzdro.
T3a	Tumor se -í í p es prostatické pouzdro unilateráln nebo bilateráln .
T3b	Tumor infiltruje semenné vá ky.
T4	Tumor je fixován nebo invaduje do okolních struktur vyjma semenných vá k (hrdlo m chý e, zevní sv ra , rektum, pánevní st na).
N ó regionální lymfatické uzliny	
NX	Regionální lymfatické uzliny nemohou být vy-et eny.
N0	Uzliny nejsou postifleny.
N1	Metastázy v regionálních lymfatických uzlinách.
M ó vzdálené metastázy	
MX	Vzdálené metastázy nemohou být potvrzeny.
M0	fiádne vzdálené metastázy.
M1	Vzdálené metastázy.
M1a	Metastázy v juxtaregionálních lymfatických uzlinách.
M1b	Metastázy v kostech.
M1c	Metastázy v jiných lokalizacích.

Zdroj: ADAM, Zden k, Ji í VORLÍ EK a Ji í VANÍ EK. *Diagnostické a lé ebné postupy u maligních chorob.*

Tabulka . 9 ó Klinická stádia ca prostaty

Stadium I	T1a	N0	M0	G1
Stadium II	T1a	N0	M0	G2,3 ó 4 každé G
	T1b	N0	M0	
	T1c	N0	M0	
	T1			
	T2			
Stadium III	T3	N0	M0	každé G
Stadium IV	T4	N0	M0	každé G
	každé T	N0	M0	
	každé T	každé N	M1	

Zdroj: ADAM, Zden k, Ji í VORLÍ EK a Ji í VANÍ EK. *Diagnostické a lé ebné postupy u maligních chorob.*

Tabulka . 11 ó TNM klasifikace ca varlat dle UICC 1997

T ó primární nádor			
pTX	Primární nádor nelze posoudit.		
pT0	Primární nádor neprokázán.		
pTIS	Karcinom in situ.		
pT1	Nádor ohrani ený na varle a nadvarle a vaskulární/lymfatické invaze, m fle pronikat do tunica albuginea, ne do tunica vaginalis.		
pT2	Nádor limitovaný na varle a nadvarle s vaskulární/lymfatickou invazí nebo pror stající do tunica albuginea s postífením tunica vaginalis.		
pT3	Nádor infiltrující semenný provazec s nebo bez vaskulární/lymfatické invaze		
pT4	Nádor pronikající do skrota s nebo bez vaskulární/lymfatické invaze.		
N ó regionální uzliny			
NX	Nebyly vy-et eny regionální lymfatické uzliny.		
N0	fiádne regionální lymfatické uzliny nejsou postífeny.		
N1	Metastáza v solitární uzlin men-í nebo rovna 2 cm v neyv t-ím pr m ru, 5 nebo mén pozitivních uzlin, v-echny men-í jak 2 cm v neyv t-ím rozm ru.		
N2	Metastáza v solitární uzlin v t-í nevl 2 cm, ale men-í nevl 5cm v neyv t-ím pr m ru, nebo více jak 5 pozitivních uzlin, v-echny men-í nevl 5 cm, nebo extranodální -í ení nádoru.		
N3	Metastázy v uzlinách v t-í nevl 5 cm v neyv t-ím pr m ru.		
M ó vzdálené metastázy			
MX	Vzdálené metastázy nebyly stanoveny.		
M0	fiádne metastázy neprokázány.		
M1	Vzdálené metastázy prokázány.		
M1a	Vzdálené metastázy plicní a lymfatické neregionální uzliny.		
M1b	Jiné vzdálené metastázy krom plicních a lymfatických uzlin neregionálních.		
S ó sérové hodnoty nádorových marker			
SX	Sérové hodnoty nádorových marker .		
S0	Sérové markery nebyly vy-et eny.		
	LDH	HCG (mIU/ml)	AFP (ng/ml)
S1	< 1,5x N a	< 5 000 a	< 1 000
S2	1,5 ó 10x N nebo	5 000 ó 50 000 nebo	1 000 ó 10 000
S3	> 10x N nebo	> 50 000 nebo	> 10 000

Zdroj: KLENER, Pavel a Ji í VORLÍ EK. *Klinická onkologie*

Tabulka . 12 ó Klinická stádia ca varlat

Stadium 0	pTis	N0	M0	S0, SX
Stadium I	pT 1 ó 4	N0	M0	SX
Stadium IA	pT1	N0	M0	S0
Stadium IB	pT2, 3, 4	N0	M0	S0
Stadium IS	v-echny pT/TX	N0	M0	S1 ó 3
Stadium II	v-echny pT/TX	N1 ó 3	M0	SX
Stadium IIA	v-echny pT/TX	N1	M0	S0, S1
Stadium IIB	v-echny pT/TX	N2	M0	S0,S1
Stadium IIC	v-echny pT/TX	N3	M0	S0, S1
Stadium III	v-echny pT/TX	v-echny N	M1, M1a	SX
Stadium IIIA	v-echny pT/TX	v-echny N	M1, M1a	S0, S1
Stadium IIIB	v-echny pT/TX	v-echny N	M0, M1, M1a	S2
Stadium IIIC	v-echny pT/TX	v-echny N	M0, M1, M1a	S3
	v-echny pT/TX	v-echny N	M1b	v-echny S

Zdroj: KLENER, Pavel a Ji í VORLÍ EK. *Klinická onkologie*

Tabulka . 14 ó TNM klasifikace ca d lofního t la

T ó primární nádor	
TX	Primární nádor nelze posoudit.
T0	říádné známky primárního nádoru.
TIS	Karcinom in situ.
T1	Nádor ohrani ený na t lo d lohy.
T1a	Nádor omezený na endometrium.
T1b	Invaze nádoru maximáln do jedné poloviny endometria.
T1c	Invaze nádoru více neřl do poloviny endometria.
T2	Nádor infiltruje í ípek, ale ne-í í se mimo d lohu.
T2a	Jsou infiltrovány pouze endocervikální řlázky.
T2b	Invaze do cervikálního stromatu.
T3	Lokální -í ení nádoru mimo d lohu.
T3a	Nádor infiltruje serózu a/nebo adnexa, nebo nádorové bu ky v ascitu nebo peritoneálním výplachu.
T3b	Nádor se -í í do pochvy.
T4	Nádor infiltruje sliznici mo ového m chý e a sliznici st eva.
N ó regionální uzliny	
NX	Regionální mízní uzliny nelze posoudit.
N0	říádné regionální uzliny nejsou postiřené.
N1	Metastatické postiření regionálních uzlin.
Za regionální uzliny se považují uzliny pánevní (hypogastrické / vnit ní ilické, obturatorní, společné a zevní ilické, parametrální, sakrální) a paraaortální.	
M ó vzdálené metastázy	
MX	P ítomnost vzdálených metastáz nelze ur ít.
M0	říádné metastázy neprokázány.
M1	Vzdálené metastázy prokázány.

Zdroj: KLENER, Pavel a Ji í VORLÍ EK. *Klinická onkologie*

Tabulka . 15 - Klinické dělení stádií endometria dle FIGO

Stadium	T	N	M
0	TIS	N0	M0
IA	T1a	N0	M0
IB	T1b	N0	M0
IC	T1c	N0	M0
IIA	T2a	N0	M0
IIB	T2b	N0	M0
IIIA	T3a	N0	M0
IIIB	T3b	N0	M0
IIIC	T1-T3b	N1	M0
IVA	T4	Každé N	M0
IVB	Každé T	Každé N	M1

Zdroj: KLENER, Pavel a Jiří VORLÍ EK. *Klinická onkologie*

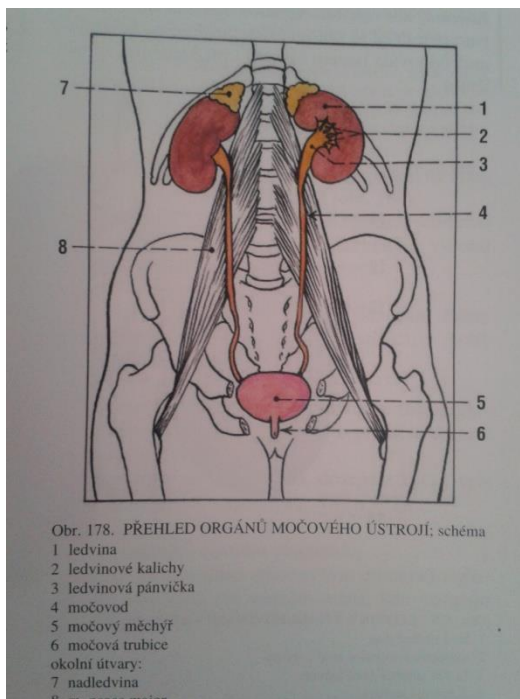
Tabulka . 17 ó TNM klasifikace ca d lofního ípku

TNM klasifikace	FIGO stadium	Rozsah postífení
TX		Primární nádor nelze hodnotit
T0		Bez známek primárního nádoru
Tis	0	Karcinom in situ, preinvazivní karcinom
T1	I	
T1a	IA	Invazivní karcinom diagnostikovaný pouze mikroskopiky
T1a1	IA1	Stromální invaze ne v t-í nefl 3mm do hloubky a horizontální ší ení 7mm nebo mén
T1a2	IA2	Stromální invaze více nefl 3mm, ale ne více nefl 5mm s horizontálním ší ením 7mm nebo mén
T1b	IB	Kliniky viditelná léze omezená na ípek nebo mikroskopická léze v t-í nefl T1a2
T1b1	IB1	Klinicky z etelná léze 4cm nebo mén v nejv t-ím rozm ru
T1b2	IB2	Klinicky z etelná léze v t-í nefl 4 cm v nejv t-ím rozm ru
T2	II	Karcinom ípku se ší í mimo d lohu, ale ne afl ke st n pánevní a ne do dolní t etiny pochvy
T2a	IIA	Bez ší ení do parametrií
T2b	IIB	Se ší ením do parametrií
T3	III	Nádor ípku se ší í ke st n pánevní a/nebo se ší í na dolní t etinu pochvy a/nebo zp sobuje hydronefrózu í afunkci ledviny
T3a	IIIA	Nádor postihuje dolní t etinu pochvy, bez ší ení ke st n pánevní
T3b	IIIB	Nádor se ší í ke st n pánevní a zp sobuje hydronefrózu í afunkci
T4	IVA	Nádor postihuje sliznici mo ového m chý e nebo rekta a/nebo se ší í mimo malou pánev
N		Regionálními míznií uzlinami jsou uzliny paracervikální, parametriální, hypogastrické (vnit ní ilické, obruratorní), sple né a zevní ilické, presakrální a laterární sakrální uzliny
NX		Regionální míznií uzliny nelze hodnotit
N0		V regionálních mízniích uzlinách nejsou metastázy
N1		Metastázy v regionálních mízniích uzlinách
M1	IVB	Vzdálené metastázy
pTN		Odpovídá kategoriím T a N. Histologické vy-et ení vzork z pánevní lymfadenektomie má zahrnovat 10 a více mízniích uzlin

Zdroj: KLENER, Pavel a Ji í VORLÍ EK. *Klinická onkologie*

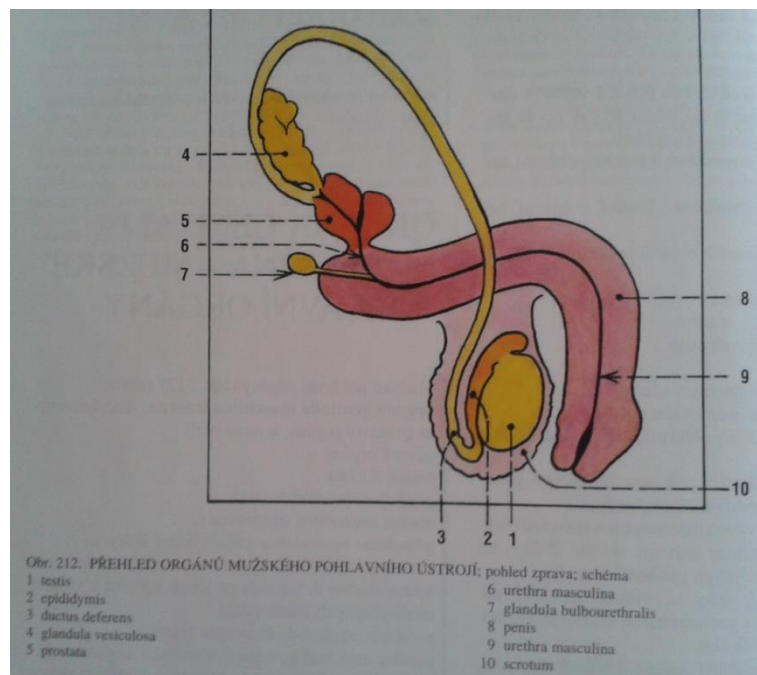
P ÍLOHA . 6 ó OBRÁZKY

Obrázek . 11: P ehled orgán mo ového ústrojí



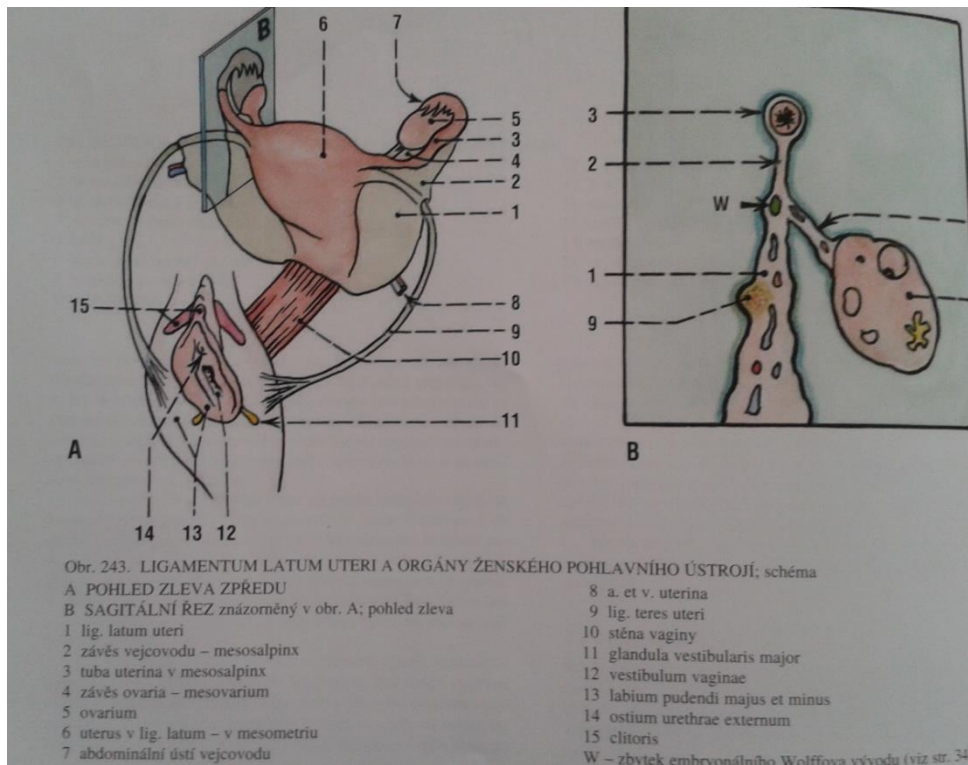
Zdroj: IHÁK, Radomír. *Anatomie 2.* str. 247

Obrázek . 12: P ehled orgán mužského pohlavního ústrojí



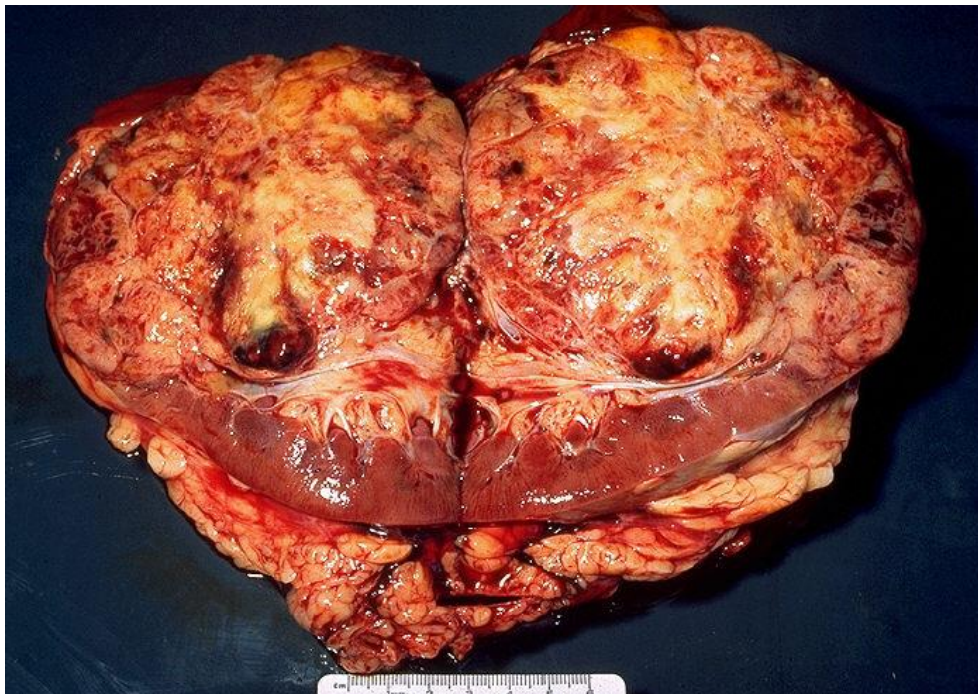
Zdroj: IHÁK, Radomír. *Anatomie 2.* str. 298

Obrázek . 13: Orgány ženského pohlavního ústrojí



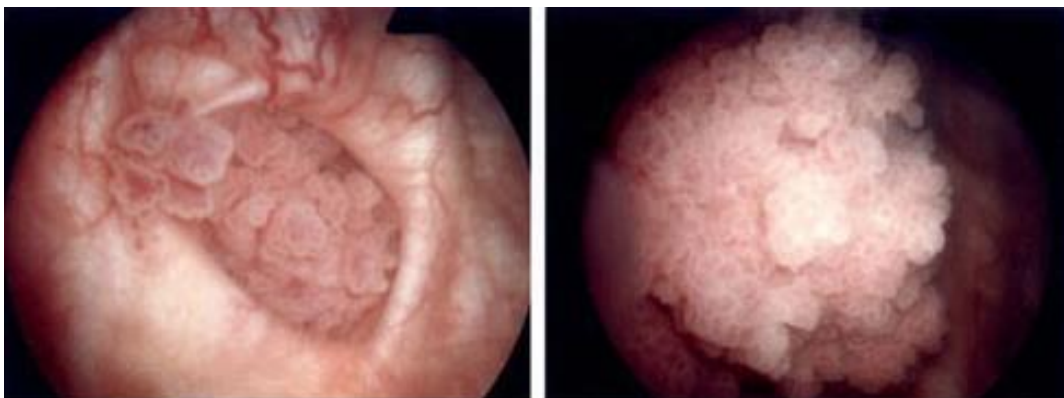
Zdroj: IHÁK, Radomír. *Anatomie 2.* str. 336

Obrázek . 14: Karcinom ledvin



Zdroj: http://phil.cdc.gov/PHIL_Images/02071999/00004/20G0029_lores.jpg

Obrázek . 15: Povrchový papilární nádor na vnit ní stran st ny mo ového m chý e



Zdroj: <http://www.osel.cz/index.php?clanek=931>

Obrázek . 16: Karcinom prostaty



Zdroj: <http://zdravi.e15.cz/clanek/sestra/karcinom-prostaty-459797>

Obrázek . 17: ez varletem vypln ným zhoubným nádorem



Zdroj: http://www.angis.cz/angis_revue/ar_clanek.php?CID=203

Obrázek . 18: Spinocelulární karcinom d lovního hrdla



Zdroj: <http://www.flickr.com/photos/euthman/218889487/in/set-72057594114099781/>

Obrázek . 19: Karcinom d lovního ípku



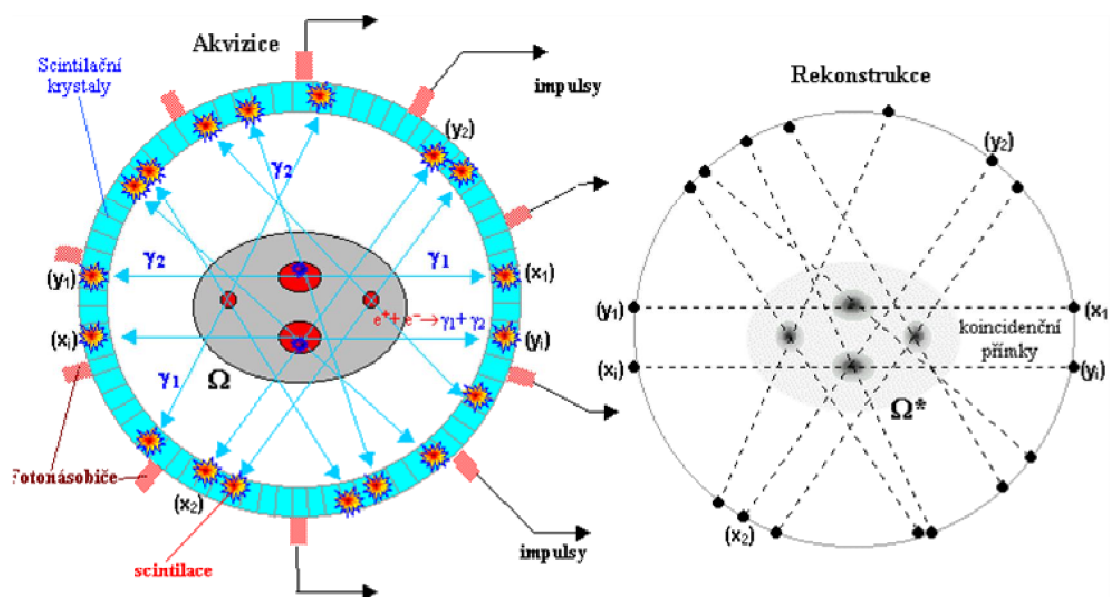
Zdroj: <http://www.asistentka.cz/node/13807>

Obrázek . 20: PET/CT



Zdroj: FN Lochoťín

Obrázek . 21: PET/CT akvizice, rekonstrukce



Zdroj: FN Lochoťín